

REGIONE PUGLIA

Provincia di BAT(Barletta-Andria-Trani)
CANOSA DI PUGLIA E ANDRIA



3GETT(

PROGETTO PER LA REALIZZAZIONE DI UN IMPIANTO EOLICO NEL COMUNE DI CANOSA DI PUGLIA E ANDRIA IN LOCALITA' POSTA PIANA E RIVERA

COMMITTENTE

Q-ENERGY RENEWABLES 2 S.r.l.

Via Vittor Pisani, 8/a - 20124 Milano (MI) PEC: q-energyrenewables2srl@legalmail.it P.IVA: 12490070963

Codice Commessa PHEEDRA: 22_05_EO_CNS PHEEDRA S.r.I. Via Lago di Nemi, 90 74121 - Taranto Tel. 099.7722302 - Fax 099.9870285 e-mail: info@pheedra.it - web: www.pheedra.it **PROGETTAZIONE SHEEDSV** Direttore Tecnico: Dott. Ing. Angelo Micolucci Dott. Geol. Antonio Mattia Fusco ORDINE INGEGNERI PROVINCIA TARANTO Sezione A Dott. Ing. Settore ngelo MICOLUCCI Civile Ambientale Industriale n° 1851 Informazione

1	Novembre 2022	PRIMA EMISSIONE	MS	AM	VS
REV.	DATA	ATTIVITA'	REDATTO	VERIFICATO	APPROVATO

OGGETTO DELL'ELABORATO

RELAZIONE GEOLOGICA E SISMICA E STUDIO DI COMPATIBILITA' IDROGEOLOGICA

FORMATO	SCALA	CODICE DOCUMENTO					NOME FILE	FOGLI
Λ 4		SOC.	DISC.	TIPO DOC.	PROG.	REV.	BVN-CIV-REL-023 01	
A4	-	CNS	CIV	REL	023	01	BVN-CIV-REL-023_01	

INDICE

PREMESSA	3
RIFERIMENTI NORMATIVI	4
UBICAZIONE DEL SITO	5
GEOLOGIA DELL'AREA	7
CARATTERI GEOMORFOLOGICI E IDROGEOLOGICI	11
ANALISI IDROLOGICA	16
INQUADRAMENTO PAI	22
SISMICITÀ DELL'AREA IN ESAME	24
INDAGINI GEOGNOSTICHE E CARATTERIZZAZIONE GEOTECNICA	43
CONCLUSIONI	50

ALLEGATI GRAFICI:

- Ortofoto 1:135.000
- Carta geologica 1:135.000

PREMESSA

Lo studio di seguito illustrato è stato svolto su incarico da me ricevuto dalla Società Q-Energy

Renewables 2 S.r.l. e costituisce la relazione geologica, geotecnica, sismica e idrogeologica a

corredo dei lavori per la realizzazione di un parco eolico nei Comuni di Canosa di Puglia e

Andria in località Posta Piana e Rivera.

Il lavoro è stato realizzato in tre fasi distinte e successive:

• prima fase di analisi in cui è stata svolta un'ampia ricerca bibliografica sul territorio in

esame;

• seconda fase di campagna in cui è stato effettuato un sopralluogo e rilievi in sito con lo

scopo di accertare le caratteristiche del suolo e sottosuolo;

• terza fase di diagnosi e sintesi, durante la quale i dati ottenuti in fase di analisi e di rilievo

sono stati elaborati al fine di evidenziare i parametri caratteristici più significativi dal

punto di vista geologico idrogeologico e geotecnico.

Al fine di acquisire le seguenti informazioni:

- definizione della stratigrafia dei terreni;

- determinazione dello spessore delle diverse litologie incontrate;

- determinazione delle proprietà fisiche e meccaniche delle diverse litologie interessate;

sono state svolte le seguenti indagini geognostiche e geofisiche:

- n. 5 profilo sismico a rifrazione;

- n. 1 profilo Masw.

Interventi in progetto:

Il progetto prevede l'installazione di 14 aerogeneratori di potenza nominale unitaria pari a 5,2

MW, per una capacità complessiva di 72,8 MW.

Gli aerogeneratori, denominati con le sigle WTG01, WTG02, WTG03, WTG04, WTG05,

WTG06, WTG07, ricadono sul territorio di Andria (BT) mentre gli aerogeneratori denominati

WTG08, WTG09, WTG10, WTG11, WTG12, WTG13 e WTG14 ricadono nel Comune di

Canosa di Puglia.

Le aree d'impianto sono servite dalla viabilità esistente costituita da strade statali, provinciali,

comunali e da strade interpoderali e sterrate.

3

Sono state definite le caratteristiche litostratigrafiche locali, così come previsto dalla normativa vigente.

Il seguente lavoro prende in considerazione i fattori geologici, geomorfologici e idrogeologici dell'area in oggetto al fine di valutare:

- il locale assetto dei terreni;
- le caratteristiche fisico-meccaniche dei litotipi presenti;
- le condizioni di stabilità delle aree interessate;
- il modello geologico del terreno interessato dall'intervento.

RIFERIMENTI NORMATIVI

La relazione è stata redatta in conformità con le seguenti normative:

- D.M. 11.3.88 "Norme tecniche riguardanti le indagini sui terreni e sulle rocce, la stabilità dei pendii naturali e delle scarpate, i criteri generali e le prescrizioni per la progettazione.....;"
- Ordinanza n. 3274 del 20 Marzo 2003 "Primi elementi in materia di criteri generali per la classificazione sismica del territorio nazionale e di normative tecniche per le costruzioni in zona sismica;
- Norme tecniche per le Costruzioni di cui al D.M. 17 Gennaio 2018;
- Circolare n. 7 del 21.01.2019.

UBICAZIONE DEL SITO

Gli aerogeneratori di progetto ricadono nel territorio comunale di Andria in località Rivera e nel comune di Canosa di Puglia (BT) in località Posta Piana, su un'area posta ad Est dal centro urbano di Canosa di Puglia (BT) ad una distanza di circa 7 km in linea d'aria e ad ovest di Andria.

Il tracciato del cavidotto esterno attraversa il territorio dell'agro di Andria (BT) e dell'agro di Minervino Murge (BT) e Canosa di Puglia (BT).

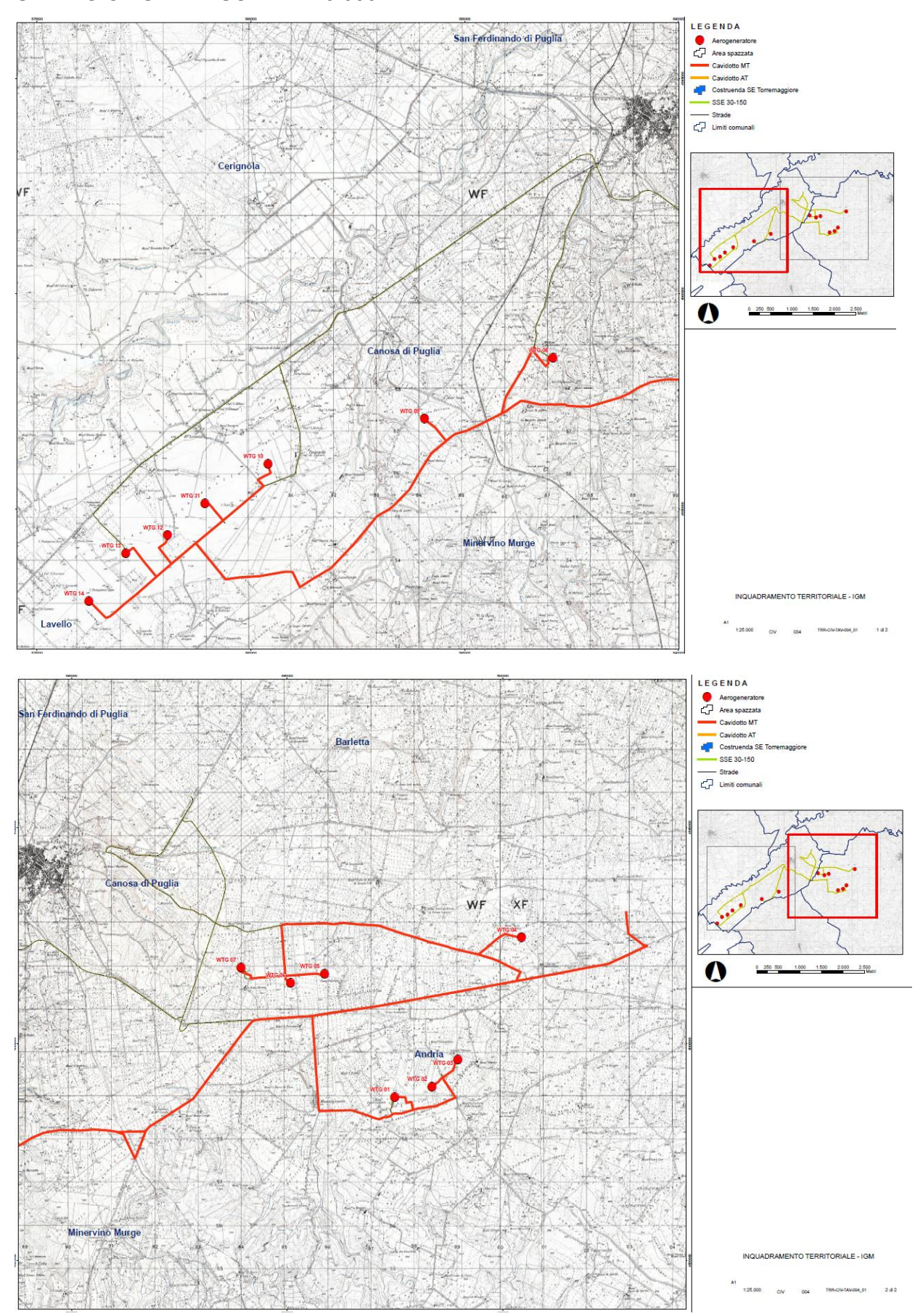
Fanno parte delle opere di progetto anche due cabine di raccolta ubicate rispettivamente sul territorio comunale di Minervino Murge e di Andria in provincia di (BT).

La sottostazione di trasformazione ricade sul territorio di Troia (FG).

Con riferimento alla cartografia topografica dell'I.G.M., questa zona rientra nei F° 176 "Barletta" e 175 "Cerignola" della Carta Topografica d'Italia (scala 1:100.000).

Nello stralcio topografico allegato (1:25.000) viene inoltre individuata la posizione dell'area rilevata. Il territorio interessato dal rilevamento presenta una morfologia tabulare, pianeggiante, con quote altimetriche comprese tra 120 e 220 m.s.l.m..

STRALCIO I.G.M. IN SCALA 1:25.000



GEOLOGIA DELL'AREA

L'area interessata dal progetto per la realizzazione dell'impianto fotovoltaico oltre che dalla sottostazione e dal cavidotto di connessione, ricade nell'ambito dell'avampaese apulo, individuatosi durante l'orogenesi appenninica è interessato dal ciclo trasgressivo Pleistocenico e costituito da una potente successione di rocce carbonatiche di piattaforma. Le spinte connesse alle diverse fasi tettoniche hanno interessato solo marginalmente l'avampaese, generando essenzialmente strutture disgiuntive quali fratture, faglie dirette e subordinatamente, blande pieghe ad ampio raggio.

Come si desume dalle relative note illustrative, per quanto riguarda il paesaggio, esso è individuato a NE dell'altopiano calcareo delle Murge Alte. La superficie topografica delle Murge si configura in forme debolmente ondulate e incise, intervallate da distese pianeggianti o ampiamente depresse. L'aspetto dominante è quello di un'area petrosa in gran parte incolta; in definitiva, è il tipico paesaggio carsico.

All'altopiano carsico si contrappone a SO l'esteso ed ampio bacino del medio Bradano (fossa bradanica p.p. ovvero fossa premurgiana) in cui il paesaggio è quello caratteristico delle colline argillose meridionali. È dominato infatti ora da rilievi poco pronunciati che si susseguono in strette e lunghe dorsali con pendici dolcemente ondulate e modellate a formare gobbe e moticoli cupoliformi, ora da rilievi fortemente delineati in isolate alture a pendici anche notevolmente acclivi. Il passaggio dalle Murge Alte alla fossa bradanica è segnato dal ciglione di una scarpata, abbastanza netto e spesso assai ripido, intaccato trasversalmente da numerosi solchi d'incisione torrentizi, alcuni ancora parzialmente attivi.

Le formazioni incluse nel detto foglio possono essere raggruppate come segue:

DEPOSITI MARINI

- Calcare di Bari (Turoniano sup. –Maastrichtiano)
- <u>Calcarenite di Gravina (Pliocen sup.- Pleistocene inf.)</u>
- Argille Subappennine (Pleistocene inf.)
- Depositi Marini Terrazzati (pleistocene med.-sup.)

DEPOSITI CONTINENTALI

• Deposti alluvionali ed eluvio-colluviali (Olocene)

Calcare di Bari

Trattasi di calcari dolomitici e dolomie grigio chiare o bianco- nocciola, la cui età è ascrivibile al

Cretaceo. È costituito da una potente successione di strati di calcari in prevalenza detritici,

generalmente a grana fine spesso dolomitizzati. I calcari caratterizzano i livelli alti della

sequenza, mentre le dolomie e calcari dolomitici ricorrono frequentemente nella parte inferiore e

in quella media.

Questi depositi rappresentano il termine stratigraficamente più antico nell'area di studio e

costituiscono il substrato sul quale poggiano in trasgressione, i depositi plio-pleistocenici.

Calcarenite di Gravina

Depositi calcarenitici e calciruditici bioclastici di ambiente litorale.

La formazione è direttamente trasgressiva sui calcari cretacici e l'età è riferibile al plio-

pleistocene. Sono localmente rappresentate da calcareniti e calciruditi passanti a materiali

sabbiosi con inclusi ciottoli che si rinvengono in spessori molto esigui.

Argille Subappennine

Argille limose, argille sabbiose ed argille marnose di colore grigio-azzurro, subordinatamente

giallastre con sparsi, sempre nella parte alta, ciottoli di natura calcarea o calcarenitica. Questi

depositi di età infrapleistocenica poggiano in continuità di sedimentazione sulle Calcareniti di

Gravina e localmente giacciono, lungo superfici trasgressive, direttamente sui depositi mesozoici

del calcare di Altamura.

Questi depositi non affiorano ma occupano vaste aree nel sottosuolo.

Dati litostratigrafici desunti da sondaggi e pozzi eseguiti nell'area confermano la presenza al di

sotto dei Depositi Marini Terrazzati.

Le Argille subappennine rappresentano il substrato impermeabile che sostiene l'acquifero

superficiale.

Queste circostanze comportano, a seguito di eteropie laterali e verticali, un assetto stratigrafico

leggermente diverso a seconda delle zone considerate.

Depositi Marini Terrazzati

In trasgressione sui terreni sopra descritti riposa una serie di depositi marini, a luoghi terrazzati,

in gran prevalenza sabbiosi. Tali depositi, difficili a rilevarsi quando poggiano su termini

litologicamente simili della Fossa bradanica, sono costituiti da sabbie, sabbie calcarifere e da

8

calcareniti con frequente stratificazione incrociata. Si tratta di depositi tipicamente litorali. I depositi stessi sono posti a quote via via decrescenti verso il mare e, a luoghi, come ad esempio lungo l'allineamento Canosa-foce Ofanto, formano una serie di ripiani, limitati in basso da

scarpate.

I Depositi Marini Terrazzati affiorano estesamente nell'area studiata.

Quest'unità rappresenta l'acquifero superficiale, generalmente sostenuto dai deposti argillosi impermeabili sottostanti.

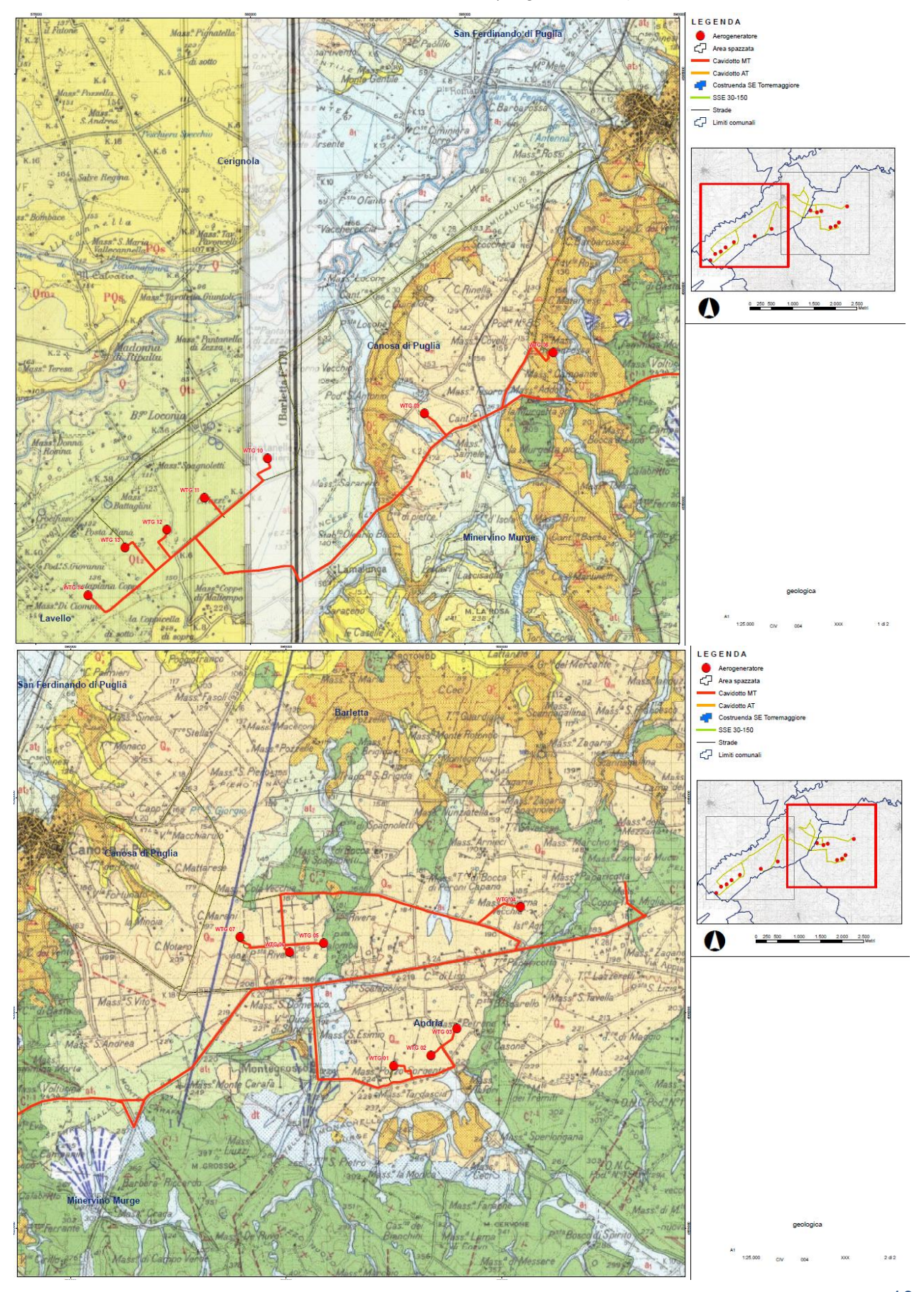
Depositi Alluvionali e eluvio-colluviali

Questi depositi rappresentano la sedimentazione recente nell'area di studio. Rappresentano le alluvioni terrazzate, sabbiose, argillose e ciottolose del fiume Ofanto e dei suoi affluenti.

Affiorano principalmente lungo i solchi erosivi.

I depositi continentali cartografati, poggiano sui depositi marini terrazzati ed il loro spessore massimo è di pochi metri.

STRALCIO DELLA CARTA GEOLOGICA D'ITALIA (Fogli 175-176)



CARATTERI GEOMORFOLOGICI E IDROGEOLOGICI

Assetto geomorfologico

Le forme del terreno nell'area di studio risentono in modo evidente delle condizioni litologiche e

di quelle strutturali e offrono buone indicazioni sull'evoluzione morfologica regionale durante in

Quaternario.

Nell'area si possono distinguere due zone:

- Il rilievo delle Murge

La piana del fiume Ofanto.

Il rilievo delle Murge occupa la maggior parte dell'area del Foglio "Barletta" ed è costituito

quasi interamente dai calcari del Cretaceo, solo a luoghi coperti da lembi di sedimenti marini o

continentali quaternari. Il motivo morfologico più importante è dato da una serie di ripiani,

allungati quasi parallelamente alla costa, posti a quote via via più basse verso l'Adriatico e verso

la valle dell'Ofanto. Questi hanno superfici debolmente ondulate e inclinate verso NE e si

raccordano tramite scarpate con andamento a luoghi molto sinuoso.

I ripiani corrispondono ad altrettanti terrazzi marini, formatisi durante il Plio-pleistocene, mentre

le Murge andavano sollevandosi.

Dati i caratteri litologici, nell'area murgiana mancano corsi d'acqua perenni; tuttavia, i solchi

d'erosione sono numerosi e costituiscono un reticolo assai denso.

La piana della bassa valle del fiume Ofanto comprende la parte nord-occidentale del Foglio

"Barletta". Fanno parte di quest'area le spianate occupate dai sedimenti marini recenti, la fascia

costiera e le pianure alluvionali del fiume Ofanto. La zona dove affiorano le sabbie è debolmente

inclinata verso nord, con lievi ondulazioni.

I depositi alluvionali del fiume formano vaste pianure lungo il corso del fiume stesso e nella

fascia costiera.

Dal punto di vista morfologico, si è potuto osservare che i depositi superficiali appaiono

sufficientemente addensati e stabili, senza evidenziare fenomeni di distacco o scoscendimenti.

Inoltre, non sono stati rilevati elementi che possano indicare movimenti sia di tipo tettonico che

gravitativi.

I processi morfodinamici possono coinvolgere fenomenologie erosive o di dilavamento delle

coltri, nelle aree ove i gradienti topografici contribuiscono al deflusso ed al ruscellamento delle

acque superficiali verso quote minori.

11

Nell'area d'interesse, non sono evidenti solchi erosivi o manifestazioni morfologiche che

possano testimoniare la presenza di vie preferenziali di scorrimento delle acque superficiali.

I terreni sabbiosi ed i litotipi calcarenitici risultano permeabili per porosità (permeabilità di tipo

primario) e tendono a favorire l'infiltrazione nel sottosuolo delle acque superficiali, limitando a

pochi minuti il ristagno in superficie delle stesse (in aree libere e non rese artificialmente

impermeabili) a seguito di eventi meteorici di normale intensità.

L'area è solcata dal fiume Ofanto e da una rete di tributari con deflusso esclusivamente

stagionale. Nel complesso tutta l'idrografia rivela una fase di maturità assai avanzata. La valle

del fiume si presenta ampia, sebbene risenta sensibilmente della differenza di litologia tra il

corso più alto e il corso basso che attraversa in Tavoliere.

Assetto idrogeologico

Falde Sotterranee

La circolazione idrica sotterranea, nel territorio in esame, si esplica attraverso due livelli. La

falda idrica superiore o "superficiale", circolante nei depositi alluvionali del fiume Ofanto è

sostenuta dal letto dei depositi argillosi appartenenti alla formazione geologica delle argille

Subappennine mentre l'acquifero di base, o "falda idrica profonda" è ospitata nell'ambito della

formazione calcareo-dolomitica del Cretaceo.

Acquifero alluvionale della bassa valle dell'Ofanto

L'assetto idrogeologico dell'area è fortemente semplificato dal fatto che le Argille varicolori, le

argille marnose scagliose e le Argille Azzurre o argille subappennine avendo composizione

granulometrica di gran lunga spostata nel campo delle argille, risultano praticamente

impermeabili. Le stesse unità argillose costituiscono il basamento eroso dal fiume e sul quale si

sono depositati i sedimenti alluvionali del corso d'acqua, rinvenendosi con spessore massimo di

12-15 m circa dal p.c..

I depositi alluvionali terrazzati del fiume Ofanto e i detriti dei conoidi, affioranti sulla piana

alluvionale in corrispondenza dei solchi, sono caratterizzati da lenti di ciottoli, granuli e sabbia

con intercalati lenti e livelli di argille limose e/o limi sabbiosi. Gli elementi lapidei, eterometrici

e di forma variabile da arrotondata a spigolosa, sono generalmente immersi in matrice sabbiosa,

ma si possono trovare lenti ghiaiose clasto-sostenute. Conseguentemente, le alluvioni risultano

permeabili per porosità, anche se evidentemente anisotrope (permeabilità notevole in direzione

12

Tel. 349 4228478 - E-mail: fusco_antonio_mattia@yahoo.it

orizzontale, modesta su quella verticale) e disomogenea, variando sensibilmente con la

granulometria e la matrice delle lenti alluvionali.

La falda idrica è rinvenibile a profondità variabili da -5m a -10metri dal p.c.. Solo localmente si

possono registrare risalite di 1-2 metri del livello idrico dopo perforazione, evidenziando una

circolazione dell'acquifero, localmente in pressione.

Le quote dei livelli di falda dei piezometri individuano, in linea di massima, una superficie

piezometrica della subalvea avente le linee di flusso pressoché parallele al fiume con gradienti

molto bassi.

Falda Idrica Profonda

La formazione carbonatica ospita la falda idrica profonda. È l'acquifero più importante

caratterizzato da un carico idraulico elevato rispetto ai valori che si riscontrano di norma lungo le

coste salentine. Tale fenomeno, ampiamente studiato, si verifica a causa della presenza di

insediamenti argillosi impermeabili, sovrapposti all'acquifero carbonatico, che mantengono la

falda in pressione ad una profondità maggiore del livello del mare. Localmente, proprio i livelli

impermeabili anzidetti possono sostenere dei livelli idrici superficiali che comunque presentano

scarsa rilevanza ai fini dell'approvvigionamento idrico. Tali livelli possono essere alimentati

dalle acque della falda profonda sottostante, laddove i sedimenti argillosi impermeabili

presentano una maggiore percentuale di limo e permettono, quindi, una maggiore risalita delle

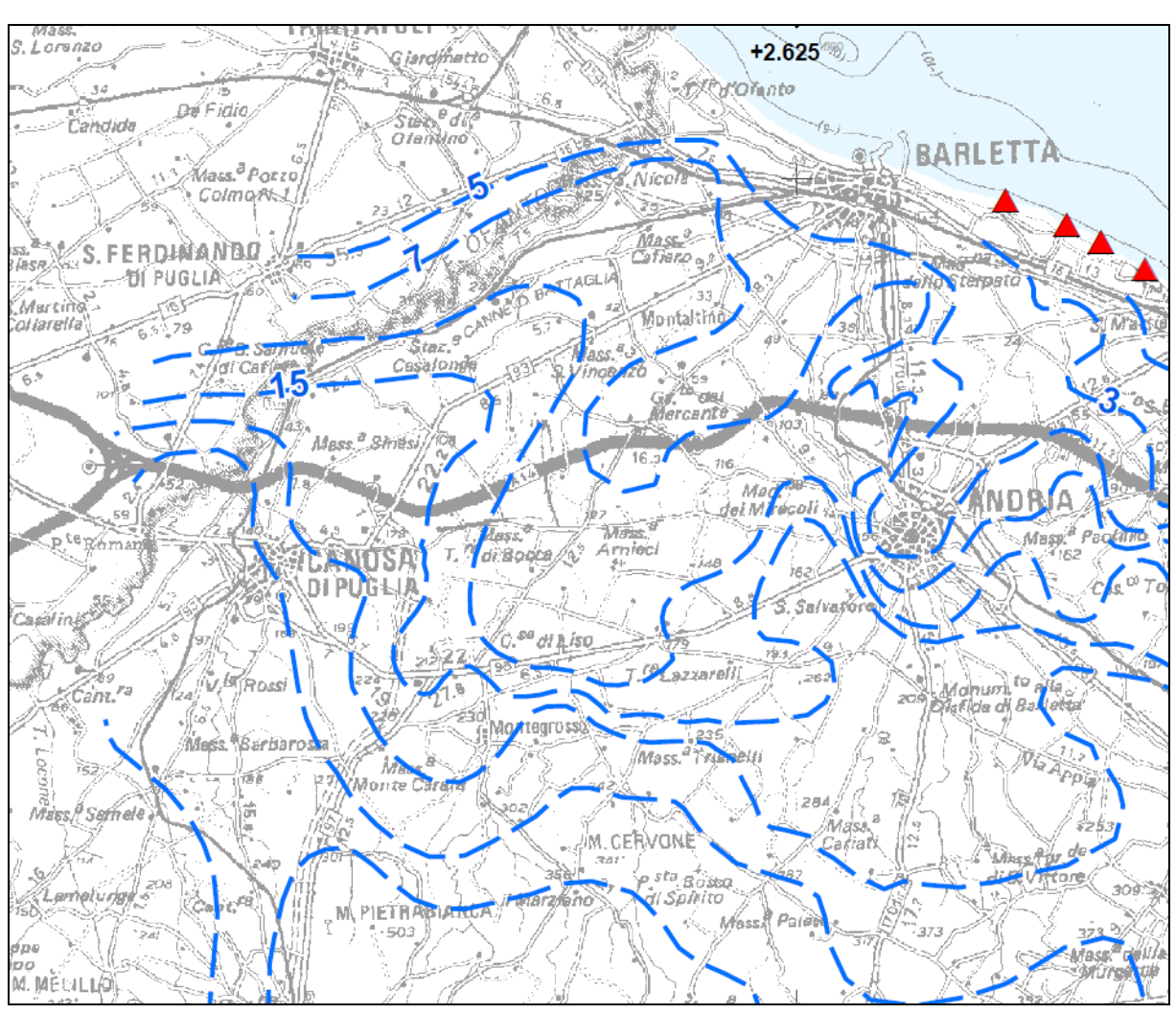
acque di falda profonda.

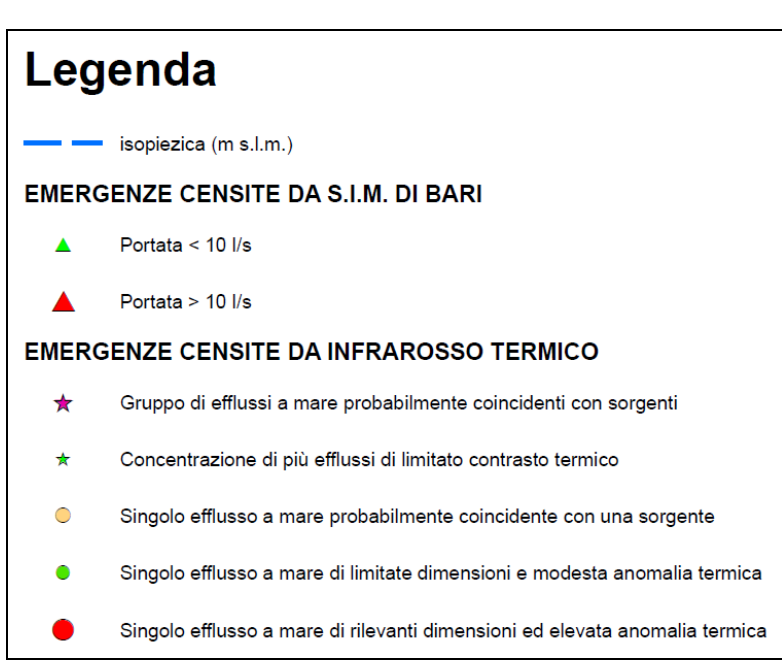
Nell'area d'esame in particolare superficie piezometrica si rinviene compresa tra 150 e 200 metri

dal piano campagna.

13

STRALCIO CARTA ISOPIEZIOMETRICA DELL'ACQUIFERO CARSICO





Caratteri di permeabilità

Le rocce affioranti nell'area in esame sono in prevalenza permeabili per porosità, per

fessurazione o per entrambe.

La permeabilità del primo tipo è tipica delle sabbie post-calabriane.

Il grado di permeabilità risulta variabile localmente, in relazione ai fattori più disparati quali:

assortimento granulometrico, incisività di fenomenologie paracarsiche, struttura e diagenesi del

deposito.

In particolare, le facies calcarenitiche sono da ritenersi dotate di permeabilità scarsa in

corrispondenza di granulometria fine e significativo contenuto argilloso, ovvero media ove

prevalgono clasti grossolani, bancate riccamente fossilifere e strutture porose e concrezionate.

I calcari sono invece dotati di permeabilità secondaria per fratturazione e fessurazione.

In base ai criteri litologici descritti ed alle osservazioni di campagna, i terreni affioranti possono

essere così classificati in base al tipo di permeabilità:

- terreni permeabili per fessurazione, fratturazione e per carsismo (elevata).

- terreni permeabili per porosità (da media a scarsa);

Terreni permeabili per porosità

A questa categoria sono correlabili le calcareniti del Salento e quelle post-calabriane che per i

caratteri granulometrici e tessiturali, rivelano una permeabilità per porosità generalmente scarsa.

Solo in corrispondenza dei livelli a macrofossili o fratturati, la permeabilità aumenta

sensibilmente per le vie preferenziali di deflusso dovute ai vuoti intergranulari o alle fratture.

Qualora invece al contatto tra le calcareniti ed i sottostanti calcari, vi è presenza di paleosuolo,

allora nonostante la permeabilità delle rocce al tetto ed al letto del paleosuolo s'instaura una

falda superficiale detta freatica. I terreni dell'area di intervento presentano un grado di

permeabilità medio con valori variabili tra 10⁻³ e 10⁻⁵ cm/s.

Terreni permeabili per fessurazione e per carsismo

Sono rappresentati dai calcari del Cretaceo. La presenza di fratture, piani di stratificazione, e

condotti carsici dovuti all'allargamento di fratture e giunti di strato, costituiscono una rete

fessurativa che conferisce all'ammasso roccioso una elevata permeabilità $(1x10^{-0} - 1x10^{-4} \text{ cm/s})$

che varia sia verticalmente che lateralmente al variare del grado di fratturazione e della natura

litologica della roccia cretacea (calcarea e calcareo-dolomitica).

15

ANALISI IDROLOGICA

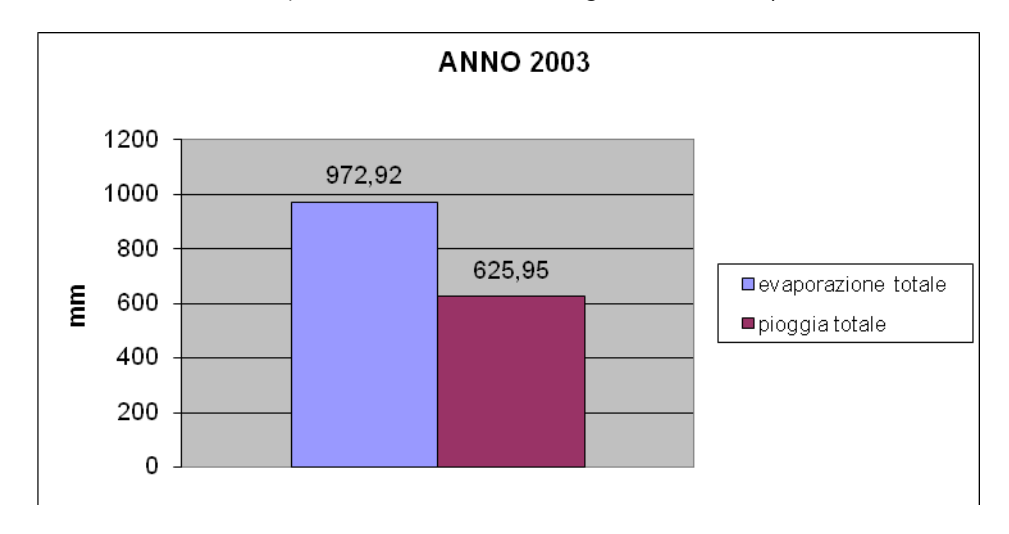
Con riferimento alle precipitazioni che si verificano nell'area, gli afflussi meteorici si attestano sul valore medio di circa 600 mm/anno, nonostante si segnali una tendenza di riduzione degli apporti in generale per la regione Puglia.

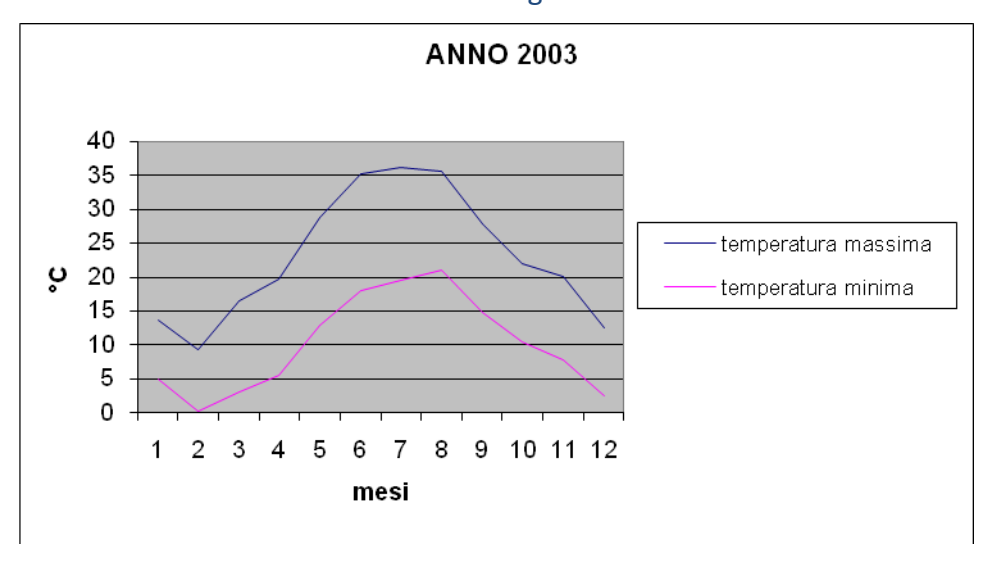
Le piogge sono prevalentemente concentrate a cavallo tra l'autunno e l'inverno mentre si riducono al sopraggiunge della stagione estiva, tanto che può verificarsi la scomparsa dei fenomeni precipitativi.

Anno 2003

	evaporaz. tot	pioggia tot	T.max	T.min	umid.max	umid.min	rad.med	v.med	v.dir.med
	(mm)	(mm)	(°C)	(°C)	(%)	(%)	(cal/cmq/g)	(km/g)	
Gennaio	32,63	116,20	13,69	5,06	87,74	52,84	119,58	208,29	WSW
Febbraio	23,69	46,10	9,24	0,29	90,29	57,81	152,19	197,70	S
Marzo	52,38	13,40	16,52	3,16	98,93	39,78	321,27	153,90	SW
Aprile	67,97	36,80	19,73	5,55	98,70	41,91	403,96	153,89	SSW
Maggio	121,34	11,80	28,87	12,92	97,96	29,83	512,92	145,03	SW
Giugno	155,06	25,00	35,32	18,06	91,24	25,91	566,59	141,97	SSW
Luglio	208,62	20,40	36,14	19,63	83,17	39,74	568,55	176,95	SSE
Agosto	140,18	79,10	35,63	21,09	84,61	58,64	474,34	162,37	WSW
Settembre	79,73	42,80	27,88	14,79	91,28	48,64	352,81	133,04	WSW
Ottobre	50,83	56,00	22,05	10,41	89,56	49,68	189,15	176,11	S
Novembre	26,21	6,60	20,16	7,81	91,73	51,63	149,33	117,47	SSW
Dicembre	14,28	171,75	12,57	2,49	93,51	60,53	81,17	162,84	S

Fonte: Consorzio di bonifica di Capitanata – stazione nº 4 agro di Candela (AZ. AGR. DI STEFANO)

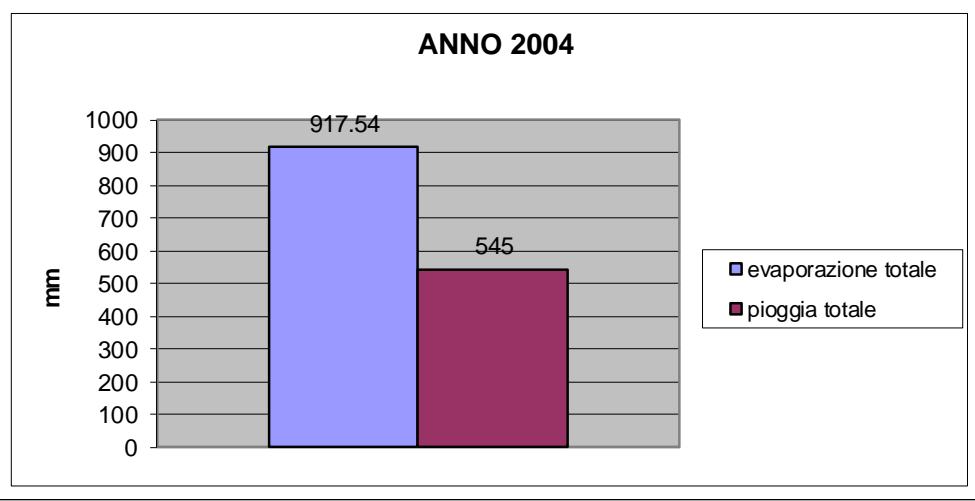


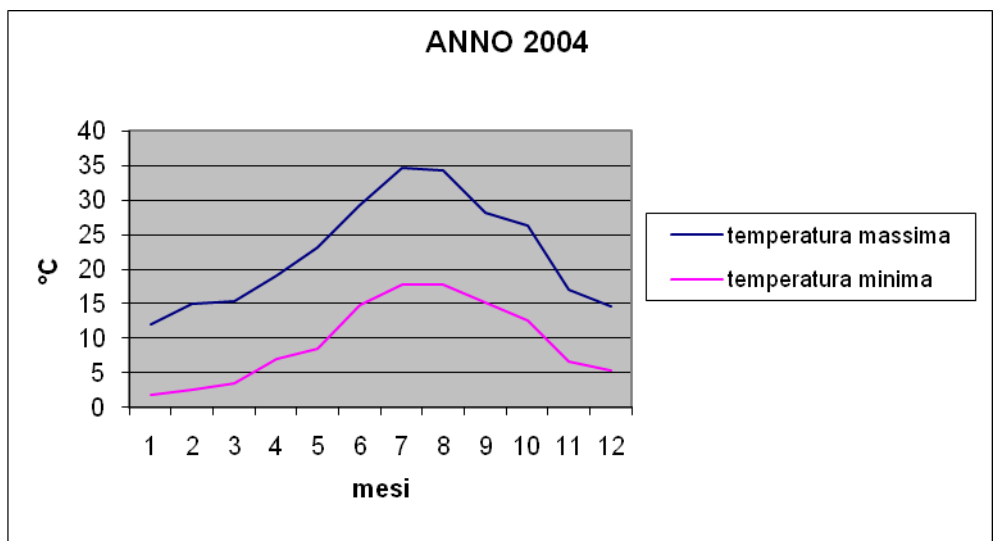


Anno 2004

	evaporaz. tot	pioggia tot	T.max	T.min	umid.max	umid.min	rad.med	v.med	v.dir.med
	(mm)	(mm)	(°C)	(°C)	(%)	(%)	(cal/cmq/g)	(km/g)	
Gennaio	28,88	33,00	11,95	1,89	85,04	51,42	135,56	187,04	SW
Febbraio	41,74	10,00	15,04	2,51	83,91	43,65	202,31	211,60	SW
Marzo	45,33	10,20	15,43	3,58	87,74	50,27	261,91	123,99	SW
Aprile	58,46	78,20	19,07	6,98	93,02	51,54	329,38	158,86	SSW
Maggio	105,36	44,40	23,16	8,42	90,79	38,30	507,94	180,26	SW
Giugno	127,05	60,60	29,19	14,90	84,37	37,51	489,26	158,06	SW
Luglio	181,10	24,20	34,64	17,82	75,61	24,18	558,22	210,59	SSW
Agosto	150,87	29,00	34,22	17,76	88,54	34,83	497,60	213,48	WSW
Settembre	85,31	49,20	28,22	15,18	95,36	48,33	352,77	187,35	S
Ottobre	58,13	29,00	26,31	12,64	93,15	44,87	256,56	150,58	SSE
Novembre	21,64	95,60	16,96	6,69	94,30	60,78	112,29	174,52	SSW
Dicembre	13,67	81,60	14,64	5,38	96,45	64,66	78,20	148,92	S

Fonte: Consorzio di bonifica di Capitanata – stazione nº 4 agro di Candela (AZ. AGR. DI STEFANO)

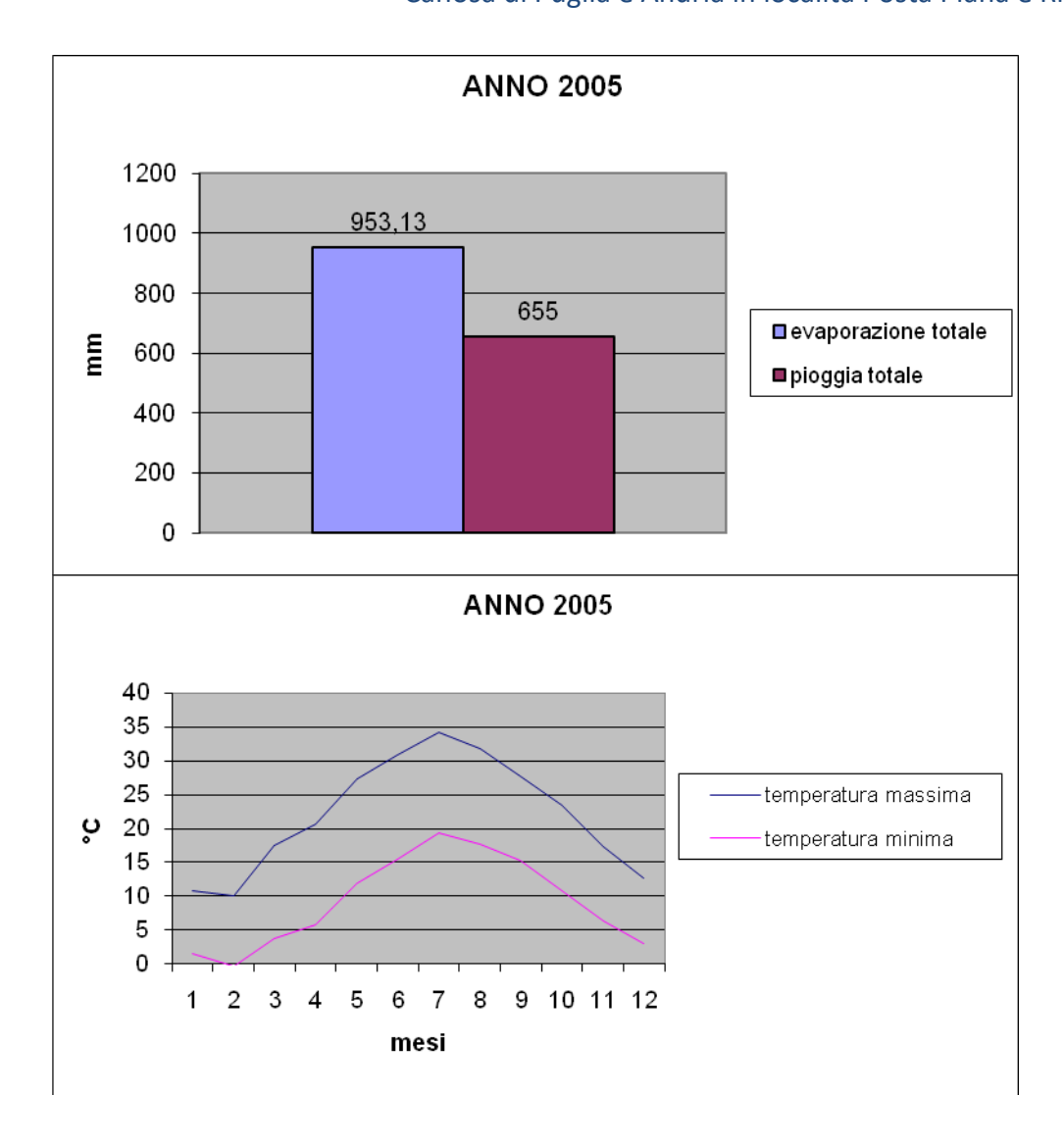




Anno 2005

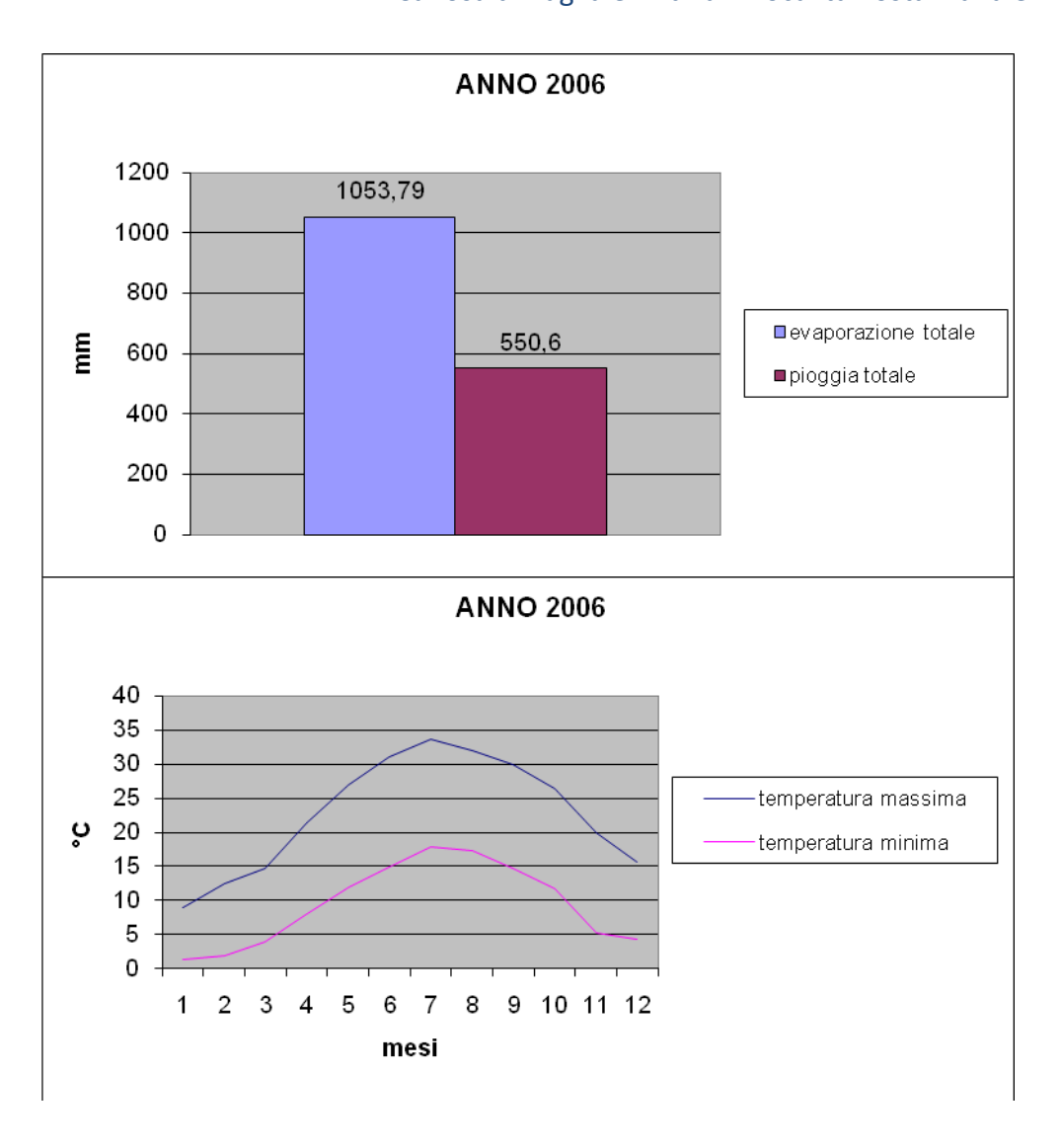
	evaporaz. tot (mm)	pioggia tot (mm)	T.max (°C)	T.min (°C)	umid.ma x (%)	umid.min (%)	rad.med	v.med (km/g)	v.dir.me d
	(111111)	(11111)	(0)	(0)	(/0)	(70))	(KIII/9)	
Gennaio	19,33	41,20	10,85	1,46	93,15	59,46	104,98	188,28	SW
Febbraio	22,56	66,00	9,99	-0,33	94,47	59,10	145,29	221,81	SW
Marzo	56,57	47,00	17,58	3,69	93,35	46,57	302,50	205,99	SW
Aprile	68,80	22,40	20,68	5,90	99,70	42,95	420,65	215,51	SSW
Maggio	131,87	31,40	27,38	11,92	92,74	28,09	529,16	200,43	SW
Giugno	145,45	74,00	30,82	15,45	93,16	27,86	555,22	185,75	SW
Luglio	190,18	29,00	34,20	19,34	78,83	28,30	579,32	246,42	SW
Agosto	139,80	53,60	31,72	17,72	80,16	31,30	437,55	214,37	SW
Settembre	85,92	45,00	27,72	15,31	91,26	42,60	330,43	187,11	SW
Ottobre	41,37	54,60	23,41	10,76	96,99	50,12	224,33	111,30	SSW
Novembr e	23,34	80,00	17,28	6,40	95,17	53,53	121,36	154,61	SSW
Dicembre	27,94	110,80	12,63	3,09	92,48	54,57	121,65	248,00	SW

Fonte: Consorzio di bonifica di Capitanata – stazione nº 4 agro di Candela (AZ. AGR. DI STEFANO)



Anno 2006

	evaporaz. tot (mm)	pioggia tot (mm)	T.max (°C)	T.min (°C)	umid.ma x (%)	umid.mi n (%)	rad.med (cal/cmq/g	v.med (km/g)	v.dir.me d
	17.00				05.10	40.11)		2011
Gennaio	17,82	38,20	9,88	1,27	95,10	60,11	98,97	189,23	SSW
Febbraio	39,81	81,40	12,58	1,96	89,06	44,68	201,20	283,41	SW
Marzo	56,94	127,40	14,81	3,88	90,16	49,85	249,53	288,18	SW
Aprile	81,93	43,60	21,47	8,07	90,33	38,71	373,09	183,24	SSW
Maggio	138,37	2,40	27,05	11,86	85,15	31,40	530,83	202,36	SW
Giugno	148,17	44,00	31,07	14,95	77,71	28,13	503,47	183,86	SW
Luglio	170,34	11,20	33,56	17,78	77,72	26,81	569,75	182,88	S
Agosto	161,79	24,00	31,93	17,37	76,88	27,61	492,76	243,62	S
Settembre	105,46	77,20	29,99	14,79	82,63	32,95	407,71	170,29	SW
Ottobre	73,18	13,80	26,46	11,79	85,09	33,53	271,64	158,62	SW
Novembr e	40,64	13,00	19,94	5,34	84,55	37,76	186,19	160,34	SW
Dicembre	19,34	74,40	15,62	4,30	94,17	53,41	128,76	125,25	SW

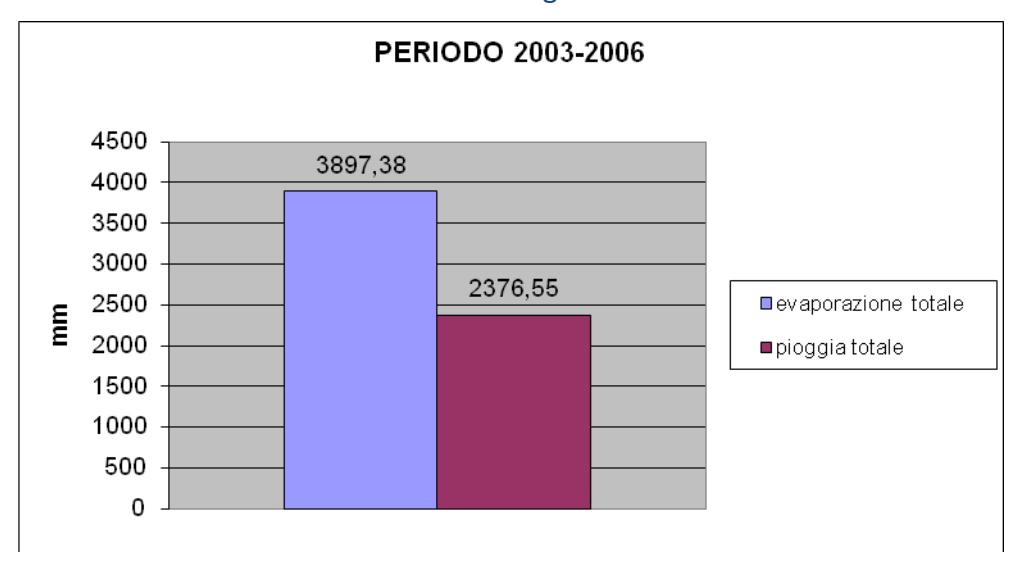


Riepilogo dati

ANNO	evaporaz. tot (mm)	pioggia tot (mm)	T.max (°C)	T.min (°C)	umid.max (%)	umid.min (%)	rad.med (cal/cmq/g)	v.med (km/g)
2003	972,92	625,95	23,15	10,11	91,56	46,41	324,32	160,80
2004	917,54	545,00	22,40	9,48	89,02	45,86	315,17	175,44
2005	953,13	655,00	22,02	9,23	91,79	43,70	322,70	198,30
2006	1053,79	550,60	22,37	9,45	85,71	38,75	334,49	197,61

Fonte: Consorzio di bonifica di Capitanata – stazione n° 4 agro di Candela (AZ. AGR. DI STEFANO)

Dall'elaborazione dei dati e dal successivo grafico risulta evidente nel periodo considerato la differenza tra acqua precipitata e acqua evaporata che ha portato ad un progressivo impoverimento delle risorse idriche a servizio del territorio.

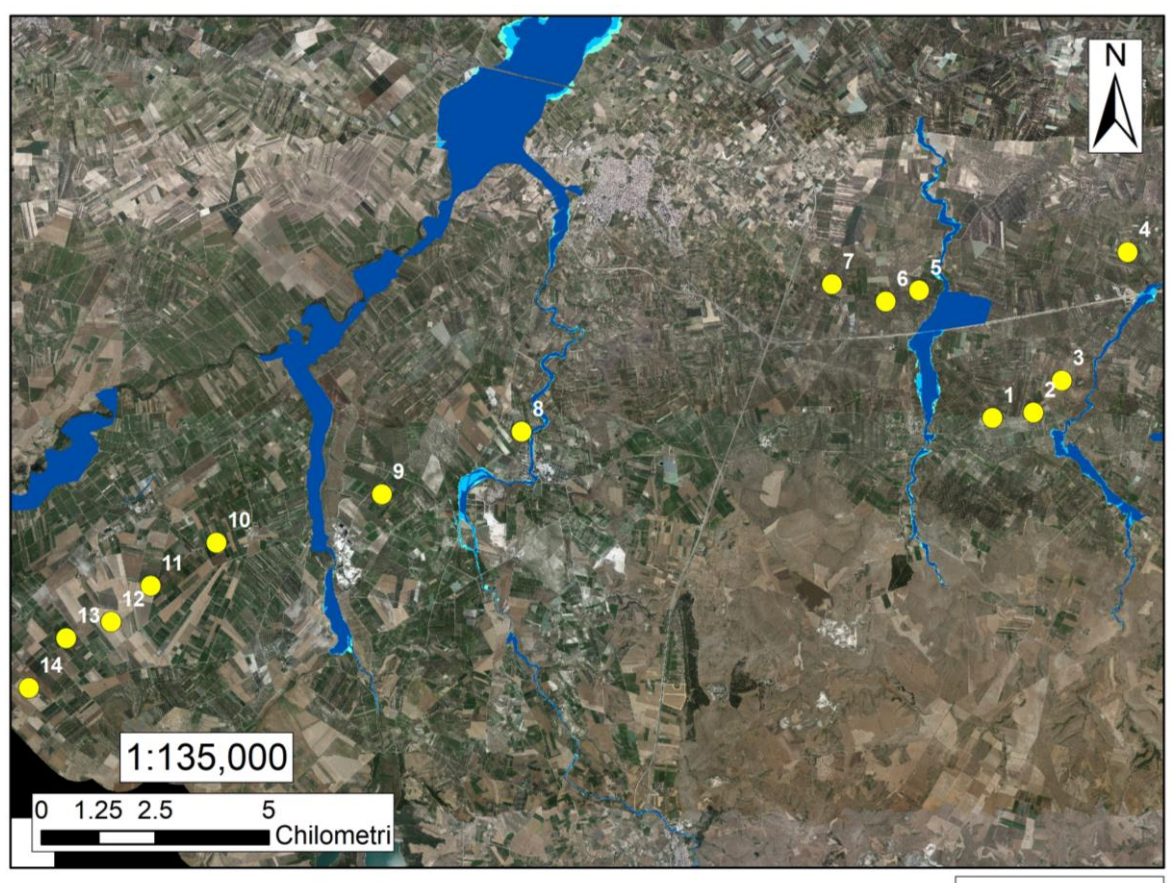


Per i dati climatici si è fatto riferimento ai dati delle statistiche meteorologiche ISTAT e ai dati del Servizio Meteorologico dell'Aeronautica Militare; la stazione presa in considerazione è quella di Candela.

INQUADRAMENTO PAI

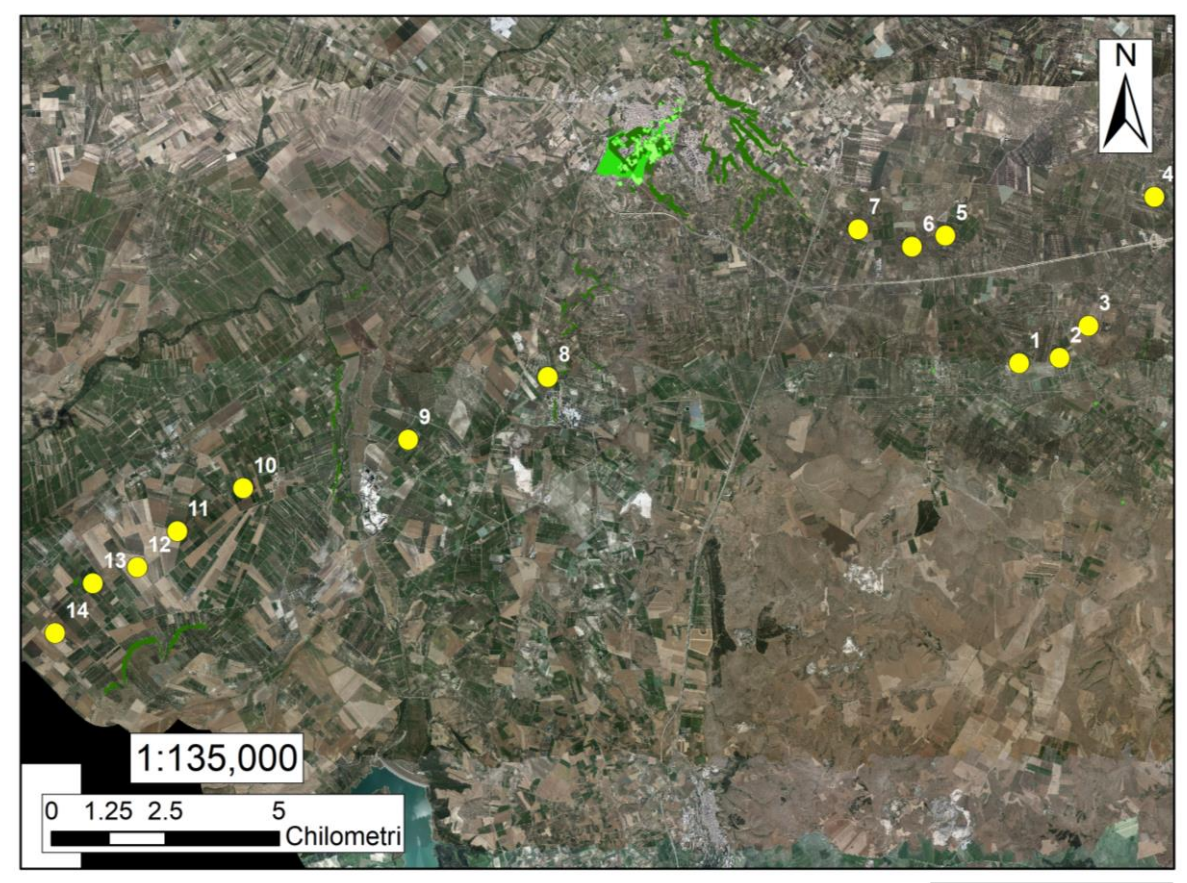
Dalla cartografia PAI si evince che le aree interessate dal "PROGETTO PER LA REALIZZAZIONE DI UN PARCO EOLICO NEI COMUNI DI CANOSA DI PUGLIA E ANDRIA IN LOCALITA' POSTA PIANA E RIVERA" oltre alle aree interessate dalle opere di connessione e dalla sottostazione di trasformazione, sono *escluse da qualsiasi tipo di pericolosità, sia IDRAULICA che GEOMORFOLOGICA*.

CARTA PERICOLOSITÀ IDRAULICA





CARTA PERICOLOSITÀ GEOMORFOLOGICA





SISMICITÀ DELL'AREA IN ESAME

Con l'ordinanza n° 3274 del 20/03/2003 del Presidente del Consiglio dei Ministri, modificata

dall'OPCM n° 3431 del 03/05/2005 sono approvati i "Criteri per l'individuazione delle zone

sismiche - individuazione, formazione e aggiornamento degli elenchi delle medesime zone",

nonché le connesse "Norme tecniche per il progetto, la valutazione e l'adeguamento sismico

degli edifici", "Norme tecniche per il progetto sismico dei ponti" e le "Norme tecniche per il

progetto sismico delle opere di fondazione e sostegno dei terreni".

Le nuove norme definiscono, dunque, i criteri generali per l'individuazione delle zone sismiche,

ai sensi dell'art. 93, 1g) del D.L. 112/1998, ai fini della formazione e dell'aggiornamento degli

elenchi nelle medesime zone da parte delle Regioni, ai sensi dell'art. 94, 2a) del medesimo

decreto.

Categorie di suolo di fondazione

Ai fini della definizione dell'azione sismica di progetto, l'effetto della risposta sismica locale si

valuta mediante specifiche analisi, da eseguire con le modalità indicate nel § 7.11.3. In

alternativa, qualora le condizioni stratigrafiche e le proprietà dei terreni siano chiaramente

riconducibili alle categorie definite nella Tab. 3.2.II, si può fare riferimento a un approccio

semplificato che si basa sulla classificazione del sottosuolo in funzione dei valori della velocità

di propagazione delle onde di taglio, V_S. I valori dei parametri meccanici necessari per le analisi

di risposta sismica locale o delle velocità V_S per l'approccio semplificato costituiscono parte

integrante della caratterizzazione geotecnica dei terreni compresi nel volume significativo, di cui

al § 6.2.2.

A – Ammassi rocciosi affioranti o terreni molto rigidi caratterizzati da valori di velocità delle

onde di taglio superiori a 800 m/s, eventualmente comprendenti in superficie terreni di

caratteristiche meccaniche più scadenti con spessore massimo pari a 3 m.

B - Rocce tenere e depositi di terreni a grana grossa molto addensati o terreni a grana fina

molto consistenti, caratterizzati da un miglioramento delle proprietà meccaniche con la

profondità e da valori di velocità equivalente compresi tra 360 m/s e 800 m/s.

C - Depositi di terreni a grana grossa mediamente addensati o terreni a grana fina mediamente

consistenti con profondità del substrato superiori a 30 m, caratterizzati da un miglioramento delle

proprietà meccaniche con la profondità e da valori di velocità equivalente compresi tra 180 m/s e

360 m/s.

24

D - Depositi di terreni a grana grossa scarsamente addensati o di terreni a grana fina scarsamente consistenti, con profondità del substrato superiori a 30 m, caratterizzati da un miglioramento delle proprietà meccaniche con la profondità e da valori di velocità equivalente compresi tra 100 e 180 m/s.

E - Terreni con caratteristiche e valori di velocità equivalente riconducibili a quelle definite per le categorie C o D, con profondità del substrato non superiore a 30 m.

Per queste cinque categorie di sottosuolo, le azioni sismiche sono definibili come descritto al § 3.2.3 delle presenti norme.

Per qualsiasi condizione di sottosuolo non classificabile nelle categorie precedenti, è necessario predisporre specifiche analisi di risposta locale per la definizione delle azioni sismiche.

Dall'indagine MASW eseguita è stato ricavato l'andamento delle Vs e da qui calcolato il valore della Vs,eq risultato di 431 m/s.

La categoria di suolo, caratteristica del sito oggetto dell'intervento, è la seguente:

B - Rocce tenere e depositi di terreni a grana grossa molto addensati o terreni a grana fina molto consistenti, caratterizzati da un miglioramento delle proprietà meccaniche con la profondità e da valori di velocità equivalente compresi tra 360 m/s e 800 m/s.

Condizioni topografiche

Per condizioni topografiche complesse è necessario predisporre specifiche analisi di risposta sismica locale. Per configurazioni superficiali semplici si può adottare la seguente classificazione (Tab. 3.2.IV):

Tabella 3.2.IV - Categorie topografiche

Categoria	Caratteristiche della superficie topografica
T1	Superficie pianeggiante, pendii e rilievi isolati con inclinazione media i ≤ 15°
T2	Pendii con inclinazione media i > 15°
Т3	Rilievi con larghezza in cresta molto minore che alla base e inclinazione media $15^{\circ} \le i \le 30^{\circ}$
T4	Rilievi con larghezza in cresta molto minore che alla base e inclinazione media i $> 30^\circ$

L'area oggetto di studio rientra nella categoria T1 "superficie pianeggiante, pendii e rilievi isolati con inclinazione media $i \le 15^{\circ}$.

Calcolo dell'azione sismica

Zone sismiche

L'Ordinanza P.C.M. n. 3274 del 23.03.2003 riclassifica l'intero territorio nazionale. In tale quadro il Comune di Canosa di Puglia ricade in zona sismica 2 mentre il Comune di Andria in zona 3.

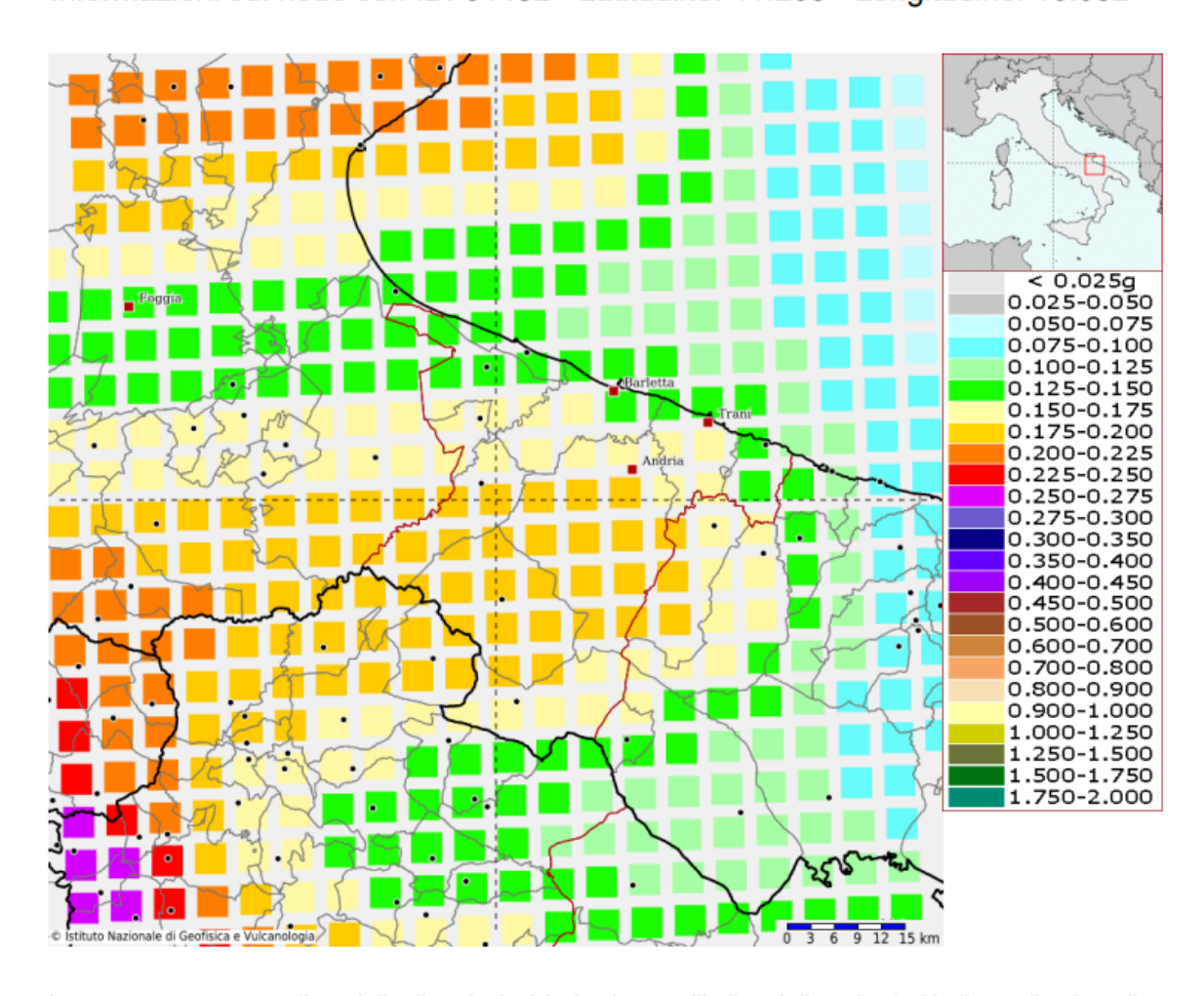
L'O.P.C.M. 3519 del 28 Aprile 2006 ha definito i "Criteri generali per l'individuazione delle zone sismiche e per la formazione e l'aggiornamento degli elenchi delle medesime zone (G.U. n.1 08 del 11/05/2006)"

La mappa riportata di seguito individua la pericolosità sismica espressa in termini di accelerazione del suolo (ag), con probabilità di eccedenza del 10% in 50 anni, riferita ai suoli rigidi caratterizzati da. Vs30>800 m/s (ovvero categoria A).

Nella seguente tabella è individuata ciascuna zona secondo valori di accelerazione di picco orizzontale del suolo ag, con probabilità di supera mento del 10% in 50 anni.

Zona	Valore di ag
1	0,35g
2	0,25g
3	0.15g
4	0,05g

Modello di pericolosità sismica del territorio nazionale MPS04-S1 (2004) Informazioni sul nodo con ID: 31452 - Latitudine: 41.205 - Longitudine: 16.082



La mappa rappresenta il modello di pericolosità sismica per l'Italia e i diversi colori indicano il valore di scuotimento (PGA = Peak Ground Acceleration; accelerazione di picco del suolo, espressa in termini di g, l'accelerazione di gravità) atteso con una probabilità di eccedenza pari al 10% in 50 anni su suolo rigido (classe A, Vs30 > 800 m/s) e pianeggiante.

Le coordinate selezionate individuano un nodo della griglia di calcolo identificato con l'ID **31452** (posto al centro della mappa). Per ogni nodo della griglia sono disponibili numerosi parametri che descrivono la pericolosità sismica, riferita a diversi periodi di ritorno e diverse accelerazioni spettrali.

Descrizione dell'azione sismica

Il modello di riferimento per la descrizione del moto sismico in un punto della superficie del suolo è costituito dallo spettro di risposta elastico di cui al punto successivo. Qualora siano eseguite determinazioni più accurate del moto sismico atteso, è consentito utilizzare spettri specifici per il sito purché le ordinate di tali spettri non risultino in nessun punto del campo di periodi di interesse inferiori all'80% delle ordinate dello spettro elastico standard applicabile in relazione alla categoria di suolo.

Per applicazioni particolari, il moto del suolo può essere descritto mediante accelerogrammi.

Il moto orizzontale è considerato composto da due componenti ortogonali indipendenti,

caratterizzate dallo stesso spettro di risposta.

In mancanza di documentata informazione specifica, la componente verticale del moto sismico si

considera rappresentata da uno spettro di risposta elastico diverso da quello delle componenti

orizzontali.

Azione sismica valutata secondo il D.M. 17 Gennaio 2018

Con D.M. 17 Gennaio 2018 il è stato approvato il testo aggiornato delle Norme tecniche per le

costruzioni. Le azioni sismiche di progetto, in base alle quali valutare il rispetto dei diversi stati

limite considerati, si definiscono a partire dalla "pericolosità sismica di base" del sito di

costruzione. Essa costituisce l'elemento di conoscenza primario per la determinazione delle

azioni sismiche. La pericolosità sismica è definita in termini di accelerazione orizzontale

massima attesa ag in condizioni di campo libero su sito di riferimento rigido con superficie

topografica orizzontale (di categoria A), nonché di ordinate dello spettro di risposta elastico in

accelerazione ad essa corrispondente S_e(T), con riferimento a prefissate probabilità di eccedenza

P_{VR} nel periodo di riferimento V_R. In alternativa è ammesso l'uso di accelerogrammi, purché

correttamente commisurati alla pericolosità sismica del sito. Ai fini della presente normativa le

forme spettrali sono definite, per ciascuna delle probabilità di superamento nel periodo di

riferimento P_{VR}, a partire dai valori dei seguenti parametri su sito di riferimento rigido

orizzontale:

ag accelerazione orizzontale massima al sito;

F_o valore massimo del fattore di amplificazione dello spettro in accelerazione orizzontale.

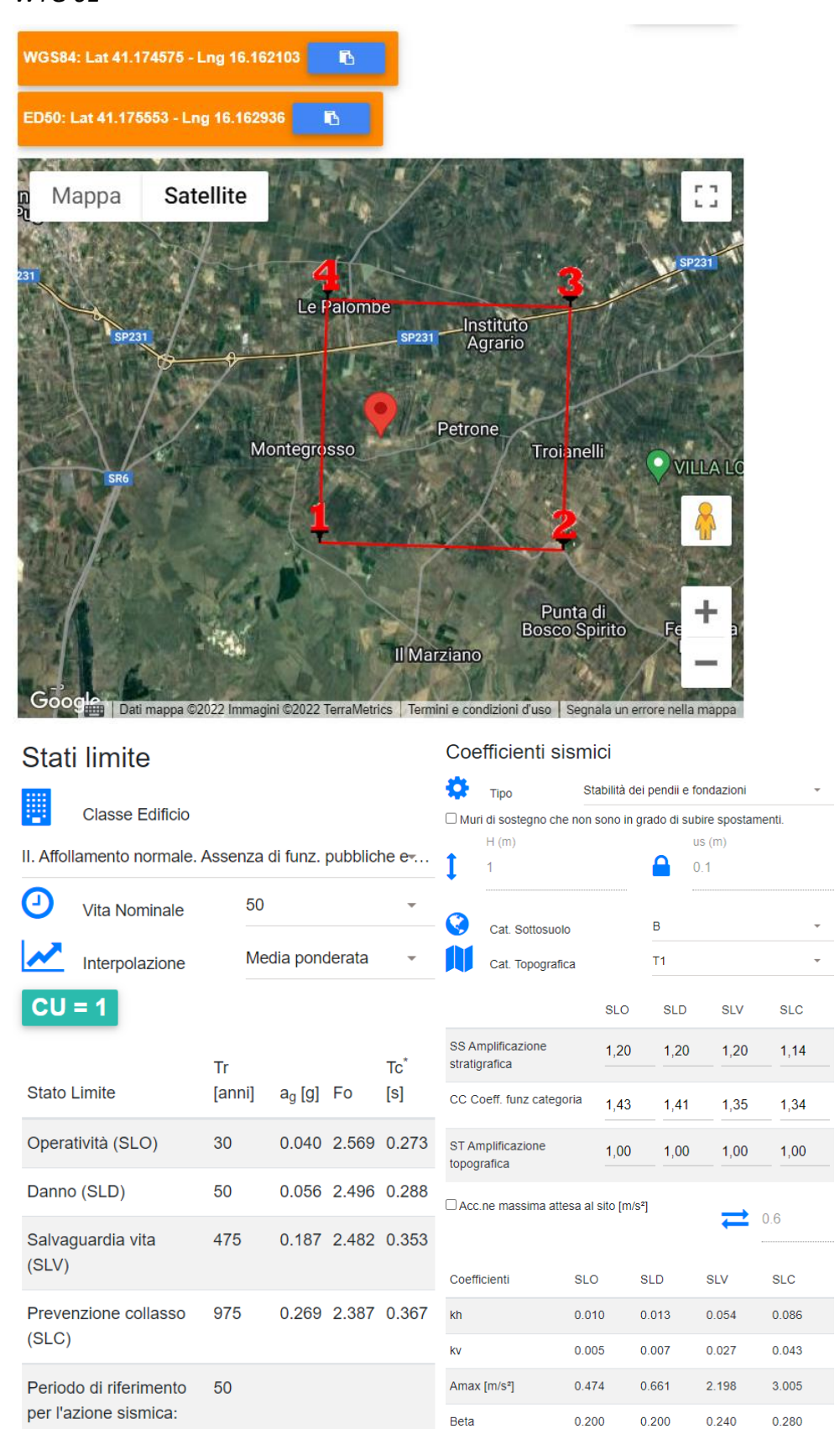
T_c* periodo di inizio del tratto a velocità costante dello spettro in accelerazione orizzontale.

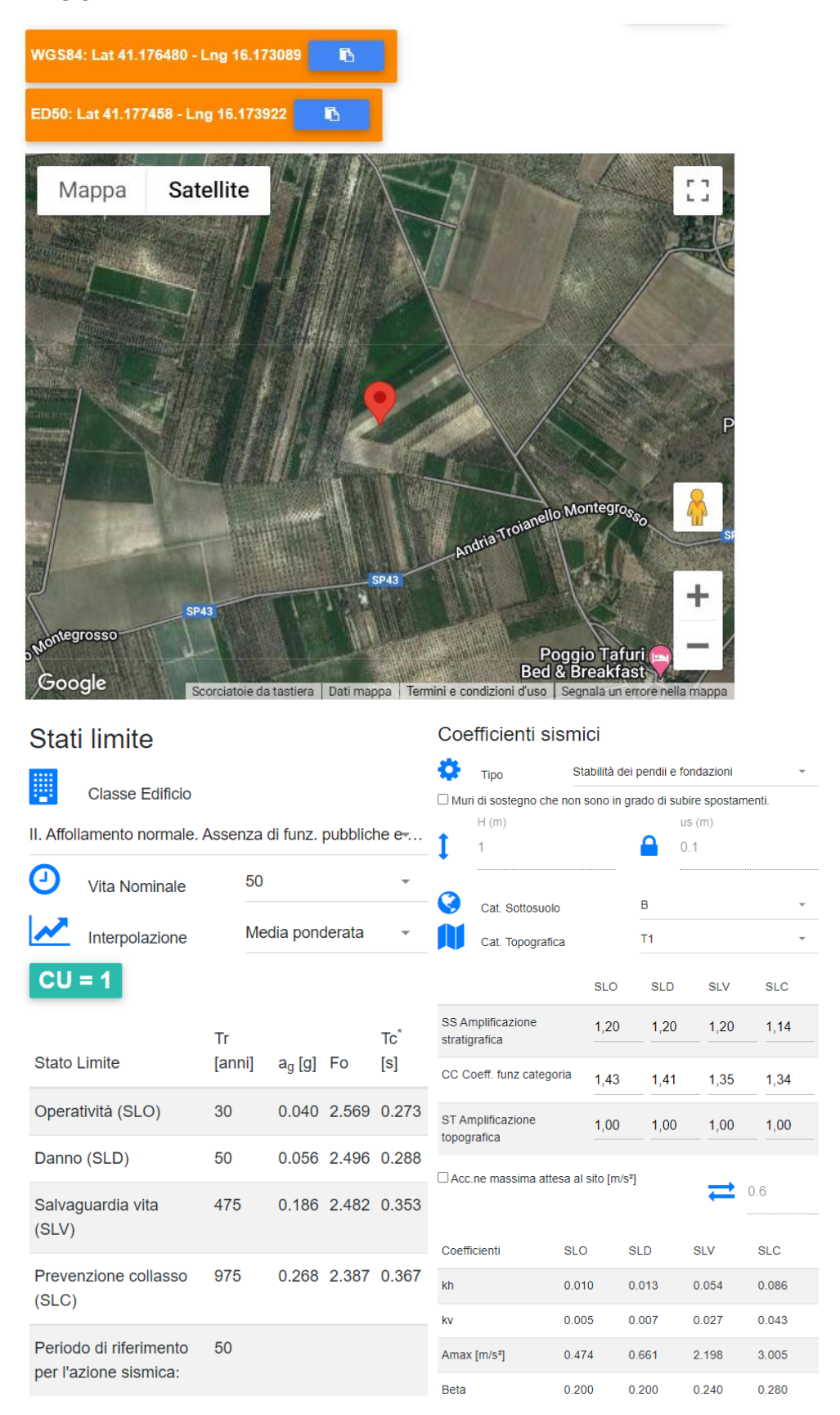
In allegato alla presente norma, per tutti i siti considerati, sono forniti i valori di ag, Fo e Tc*

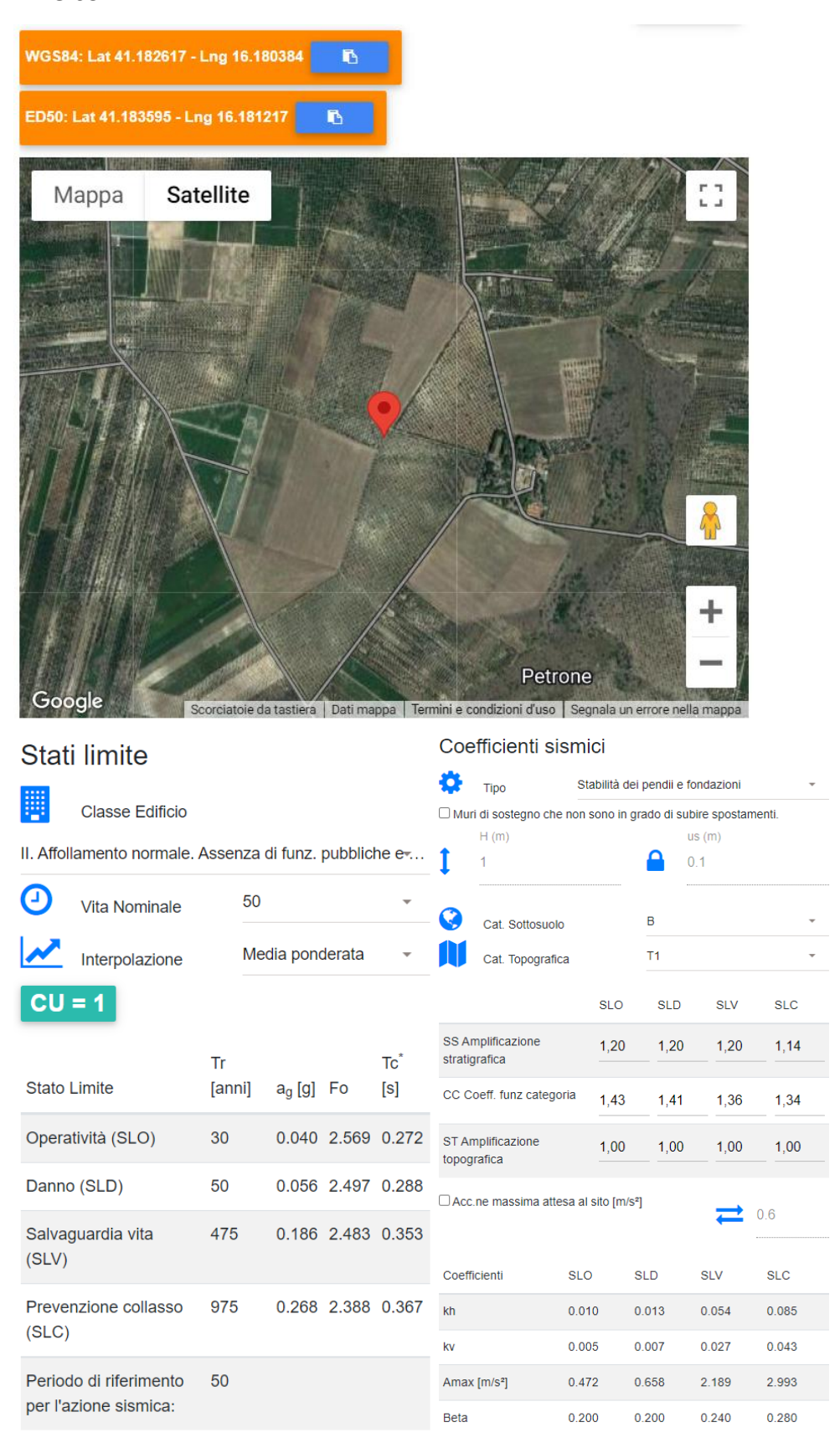
necessari per la determinazione delle azioni sismiche.

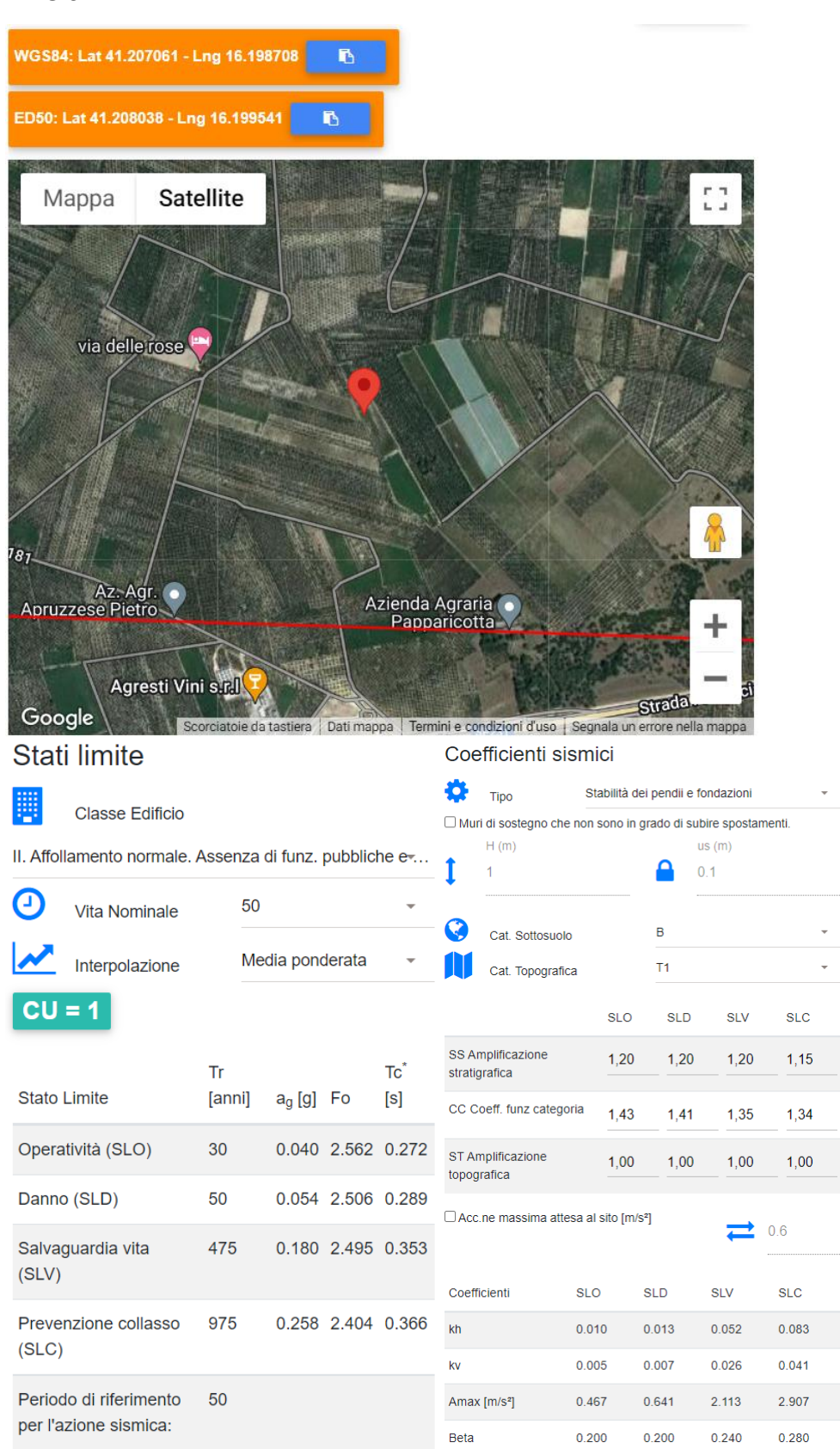
28

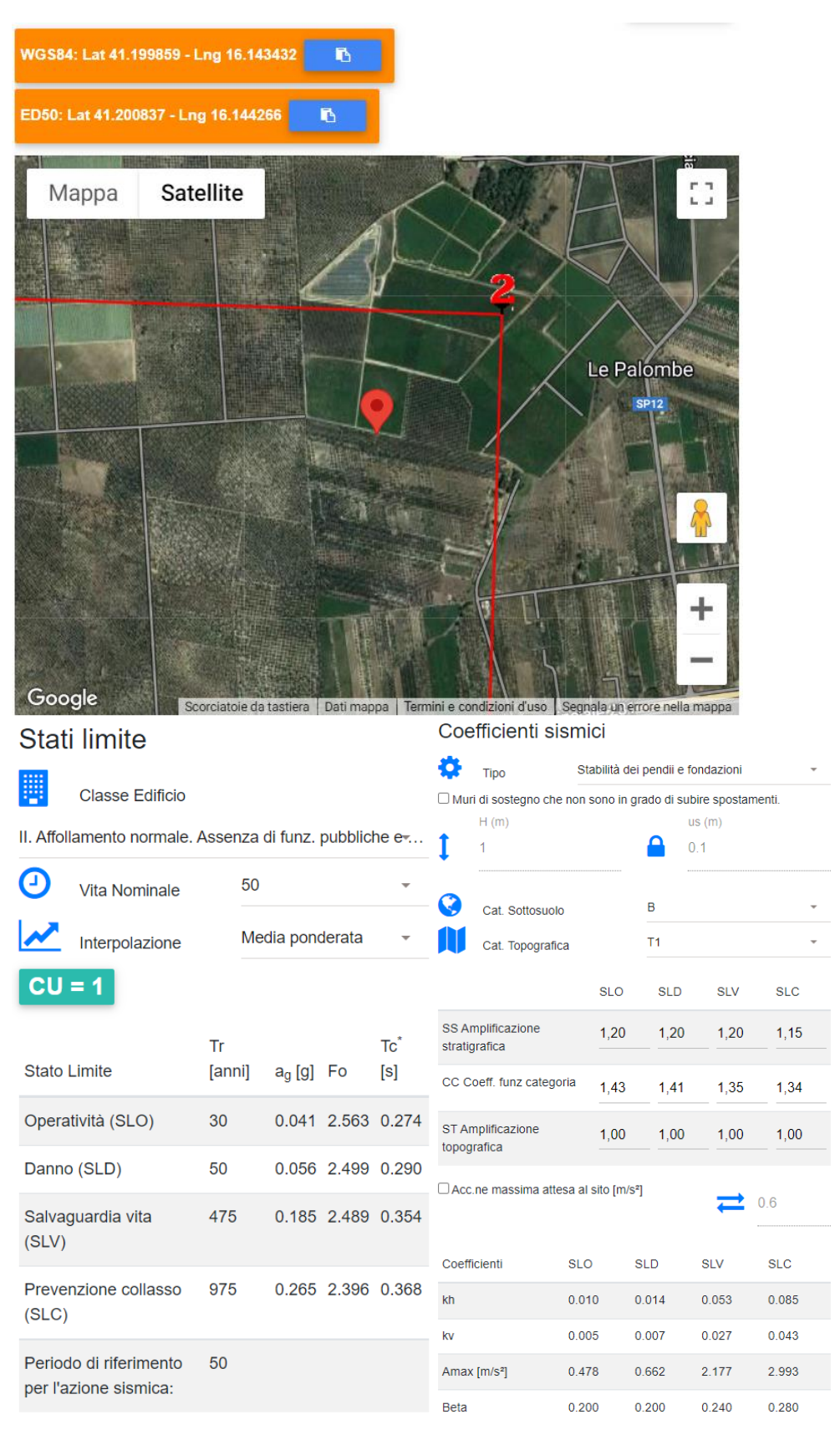
Parametri sismici (determinati con GeoStru PS)

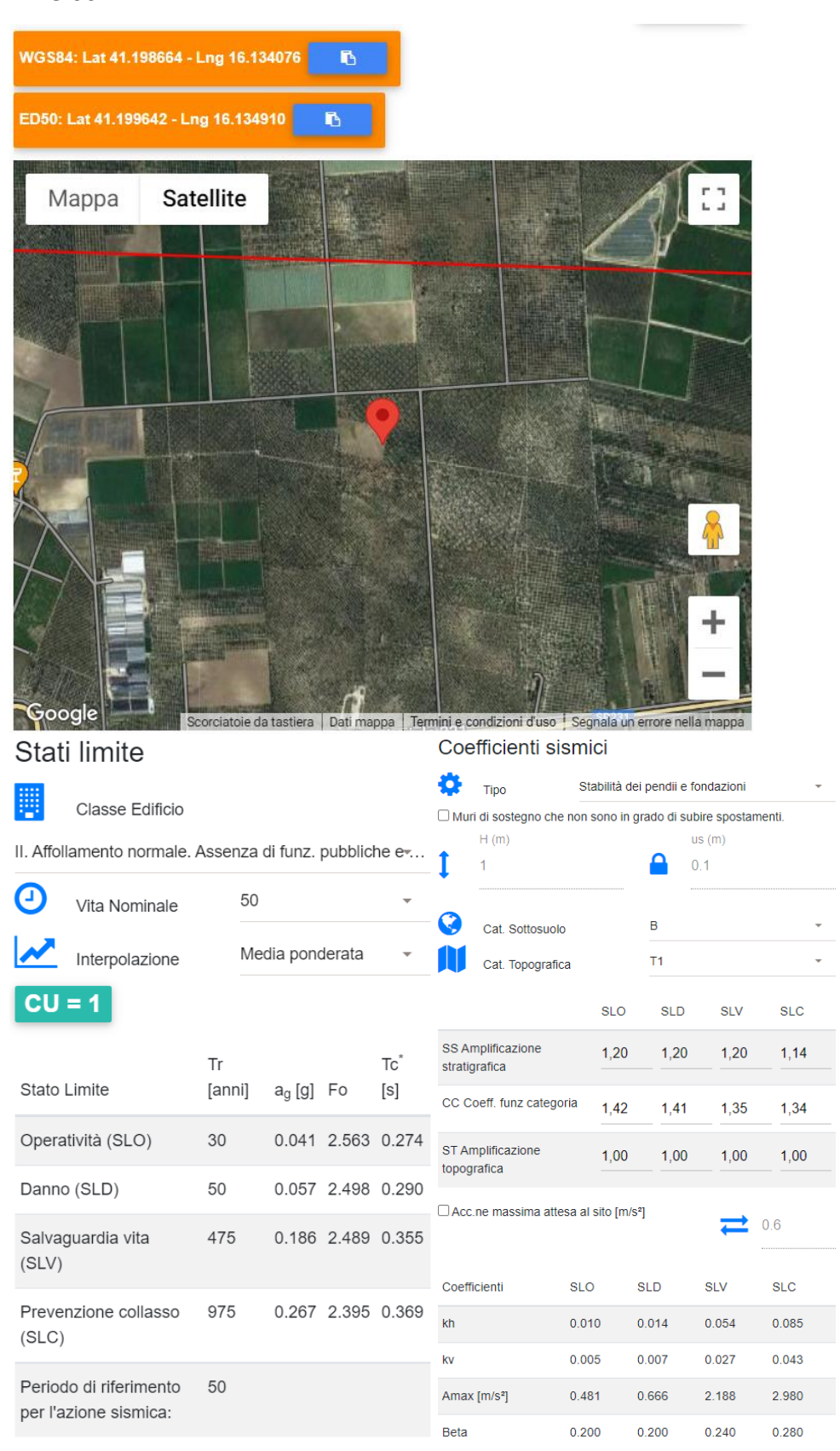


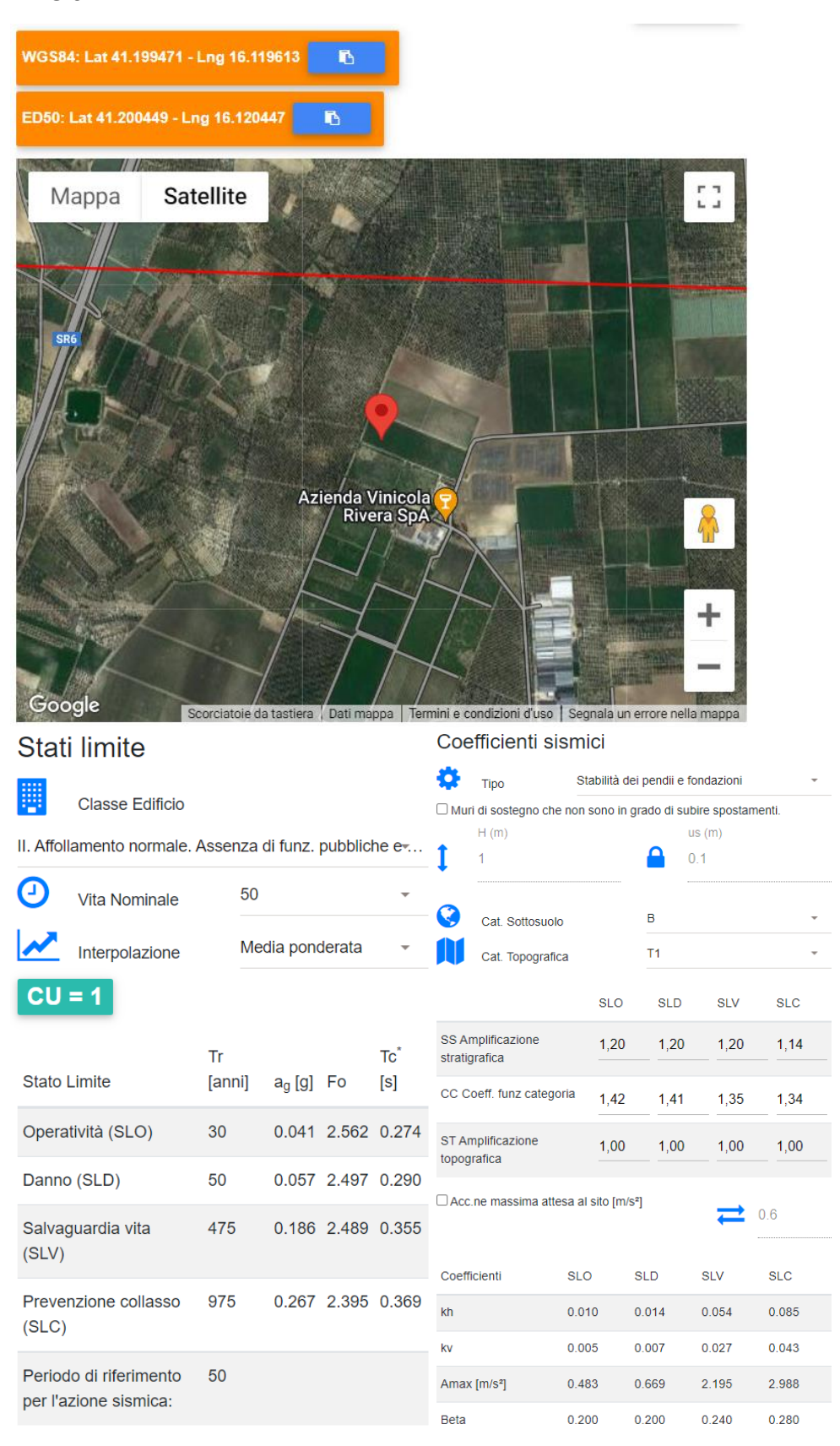


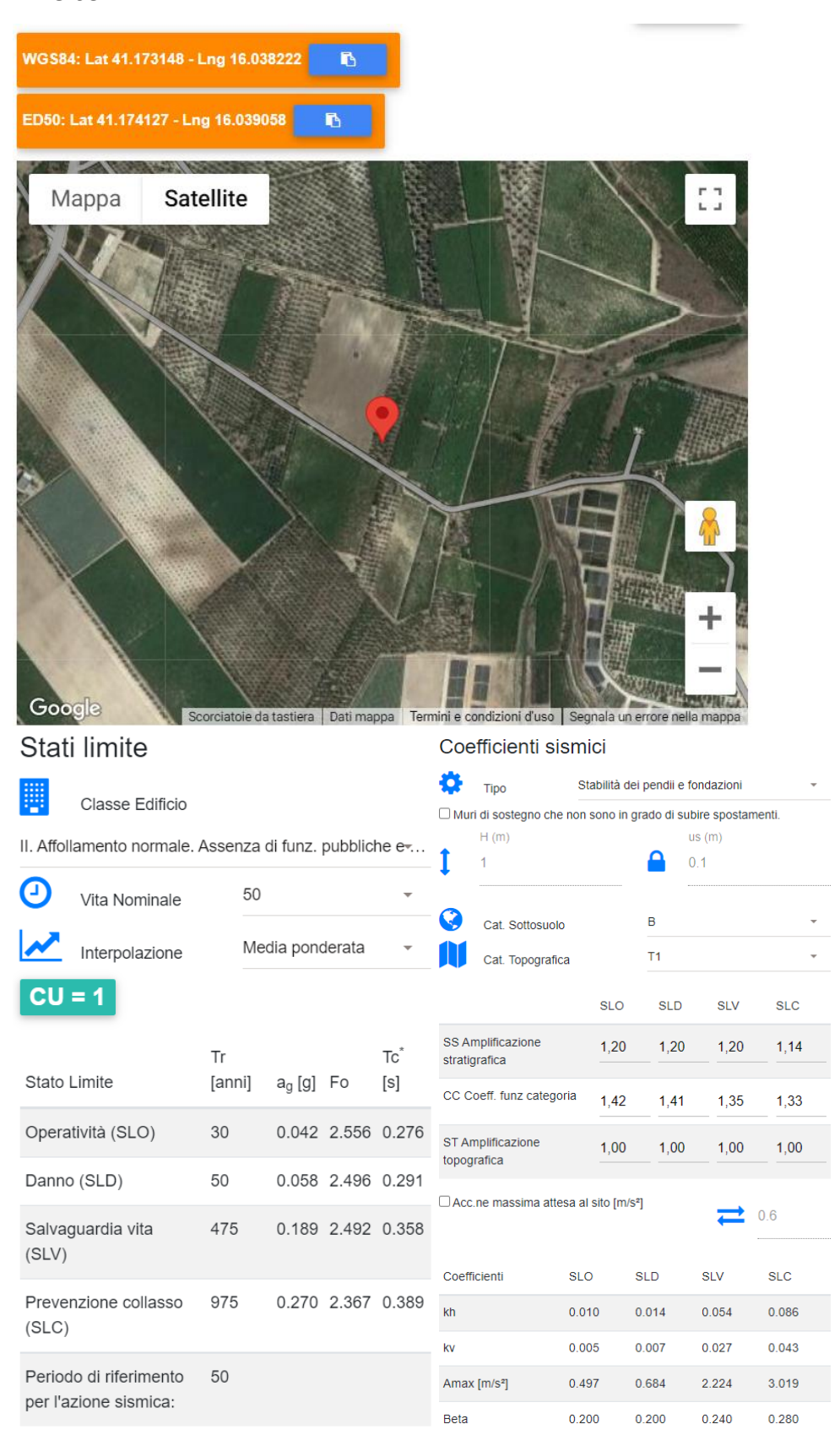


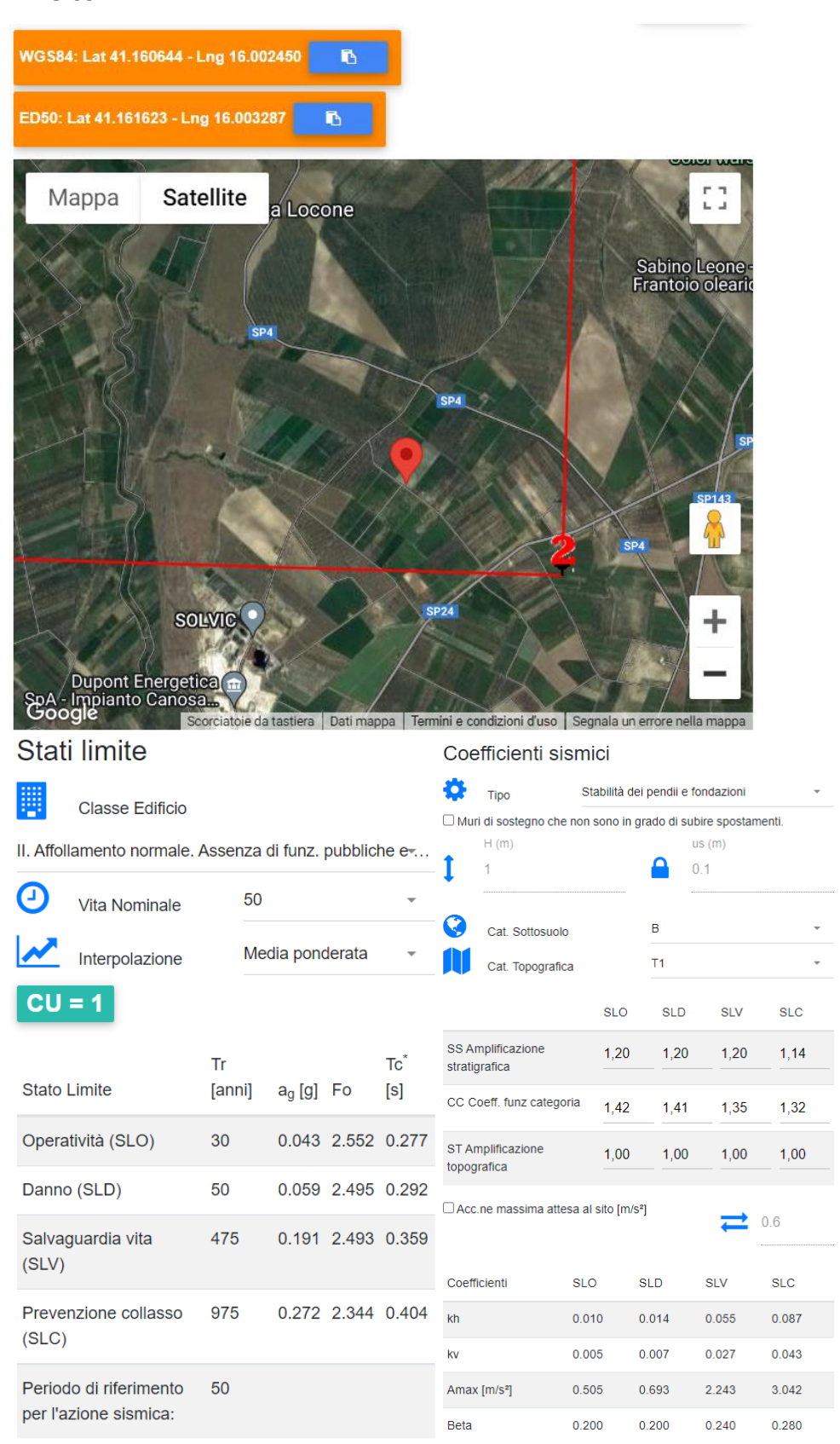


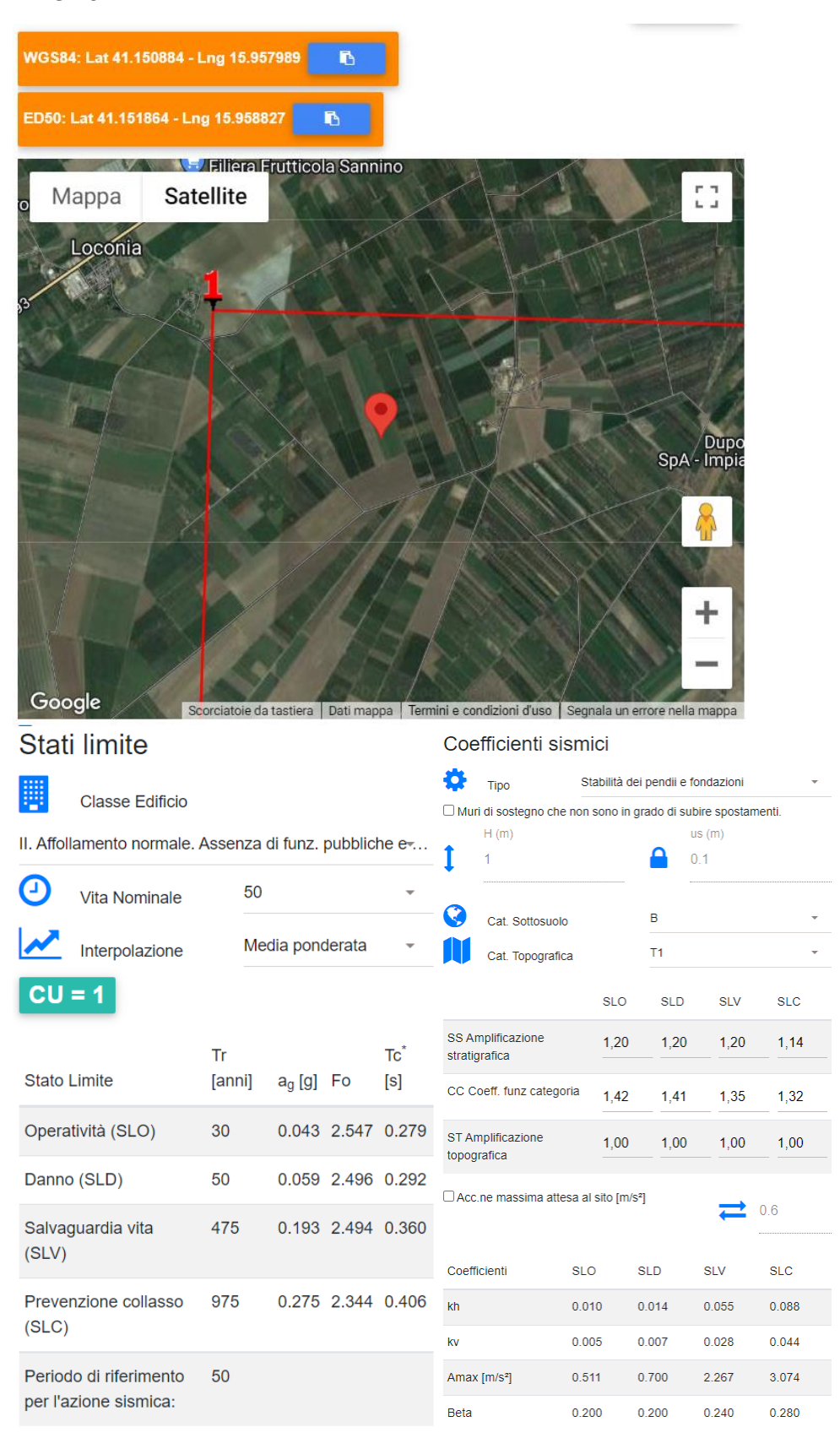


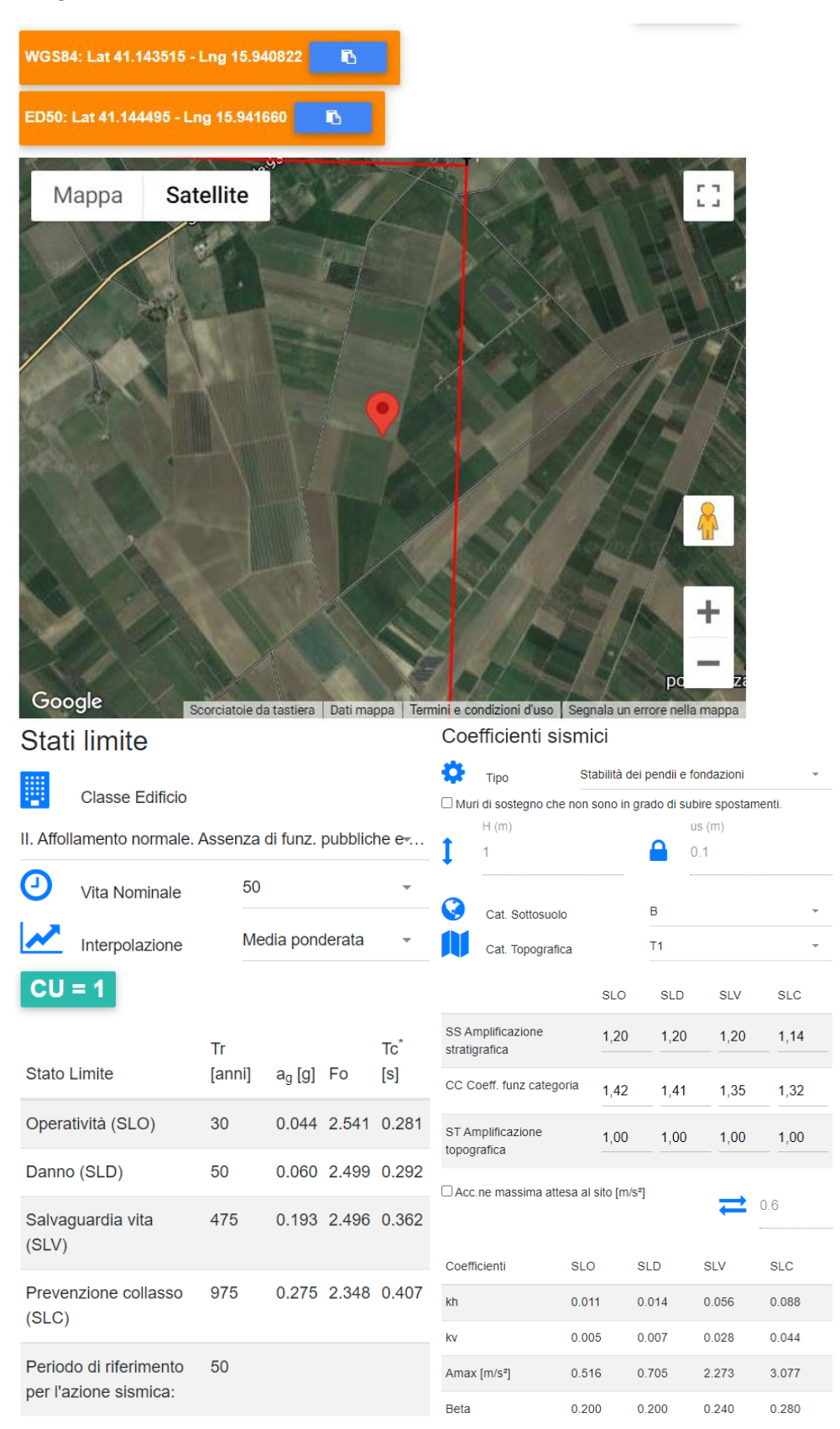


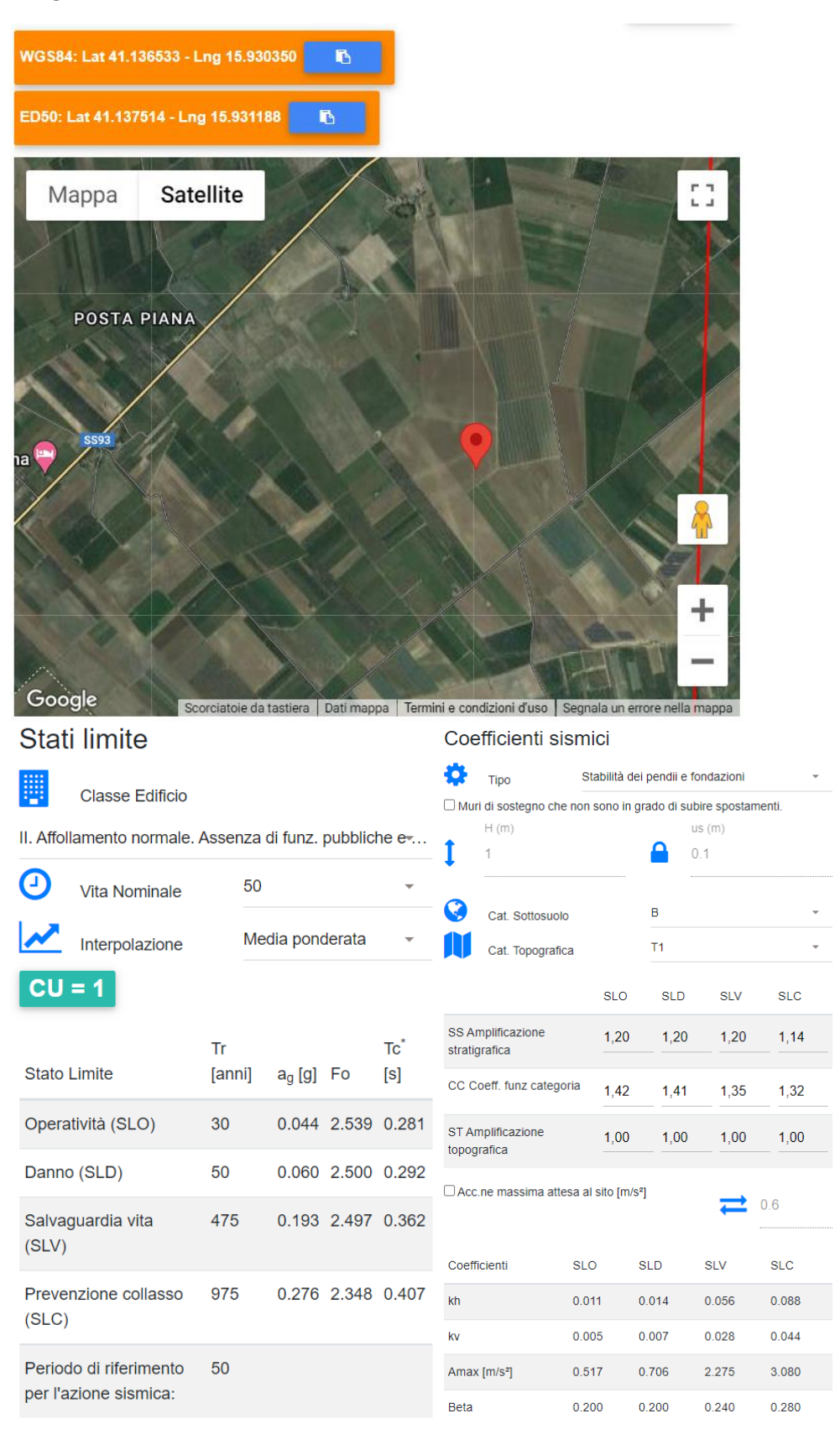


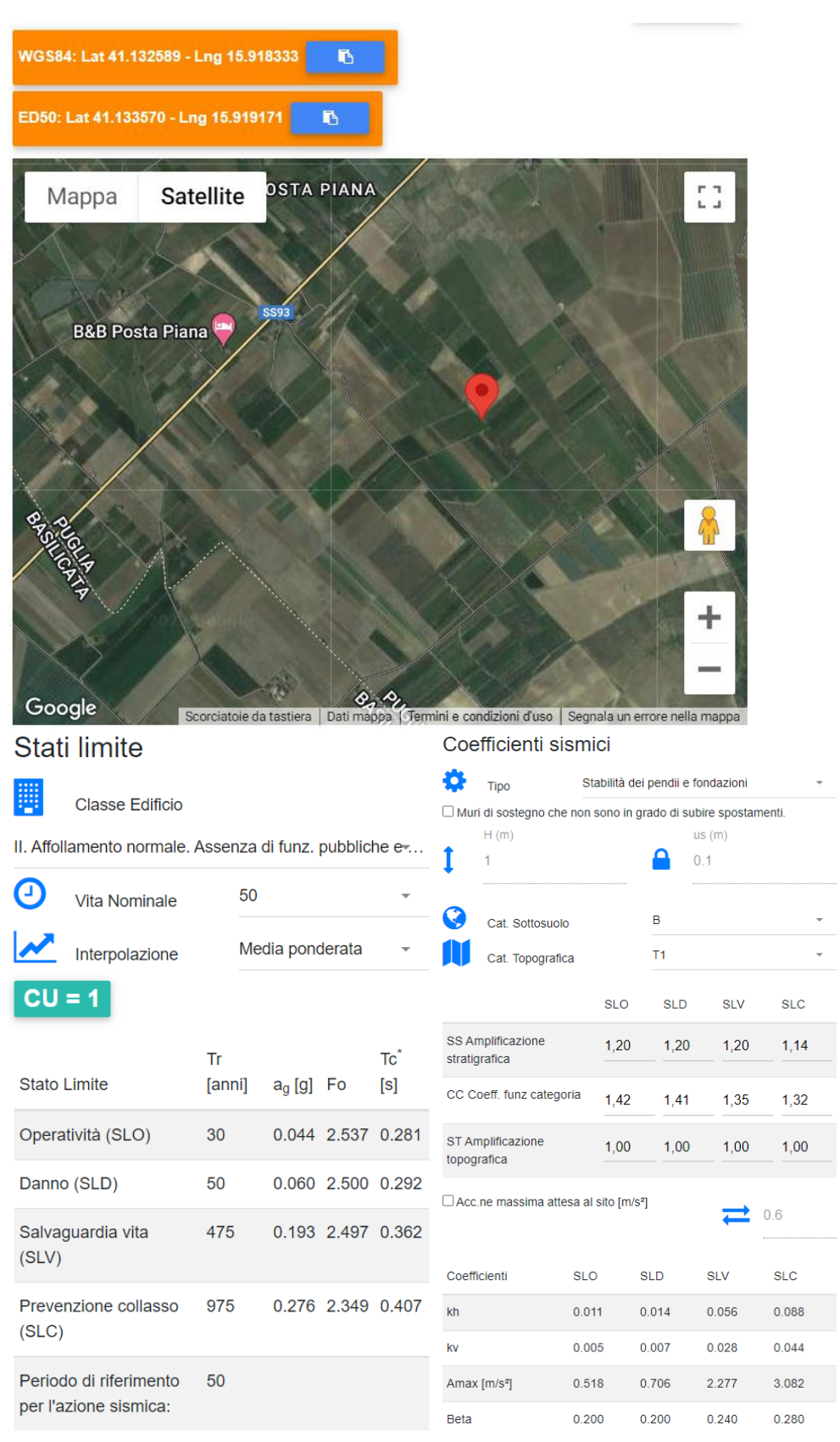


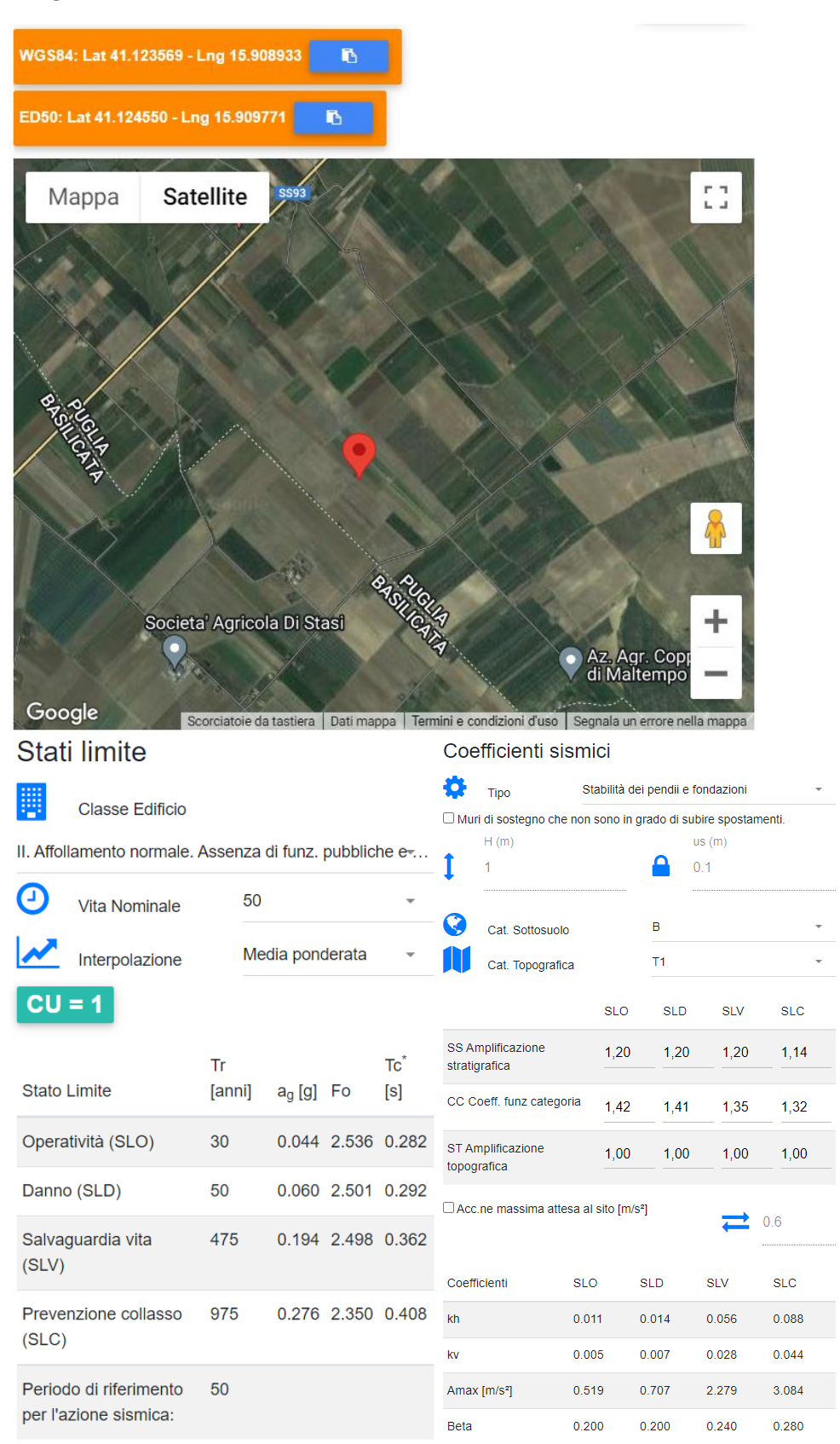












Progetto per realizzazione di un parco eolico nei Comuni di Canosa di Puglia e Andria in località Posta Piana e Rivera

INDAGINI GEOGNOSTICHE E CARATTERIZZAZIONE GEOTECNICA

La raccolta dei dati dei principali parametri geotecnici, si è basata sull'analisi proveniente dalla

campagna d'indagine geognostica effettuata sul sito e costituita da una serie di indagini sia di

tipo diretto che indiretto.

Le indagini sono consistite in:

n. 5 indagine sismica a rifrazione;

n. 1 indagine sismica Masw per l'individuazione della categoria sismica del suolo di

fondazione.

Profilo sismico a rifrazione

La sismica a rifrazione consiste nel provocare delle onde sismiche che si propagano nei terreni

con velocità che dipendono dalle caratteristiche di elasticità degli stessi. In presenza di

particolari strutture, possono essere rifratte e ritornare in superficie, dove, tramite appositi

sensori (geofoni), posti a distanza nota dalla sorgente lungo la linea retta, si misurano i tempi di

arrivo delle onde longitudinali (onde P), al fine di determinare la velocità (Vp) con cui tali onde

coprono le distanze tra la sorgente ed i vari ricevitori.

I dati, così ottenuti, si riportano su diagrammi cartesiani aventi in ascissa le distanze e in ordinata

i tempi dei primi arrivi dell'onda proveniente dalla sorgente. In questo modo si ottengono delle

curve (dromocrone) che, in base ad una metodologia interpretativa basata essenzialmente sulla

legge di Snell, ci permettono di determinare la velocità di propagazione delle onde e le costanti

elastiche dei terreni attraversati.

I profili sismici in totale n. 5 sono stati eseguiti adottando una distanza tra i geofoni di 3 metri.

L'energizzazione è stata ottenuta utilizzando una mazza battente del peso di 5 kg che batte su

una piastra rettangolare.

Le onde così generate sono state registrate con un sismografo a 12 canali della DAQ LINK III a

24 bit, il quale consente di ottenere le misurazioni dei tempi di arrivo delle onde sismiche che si

propagano nel sottosuolo.

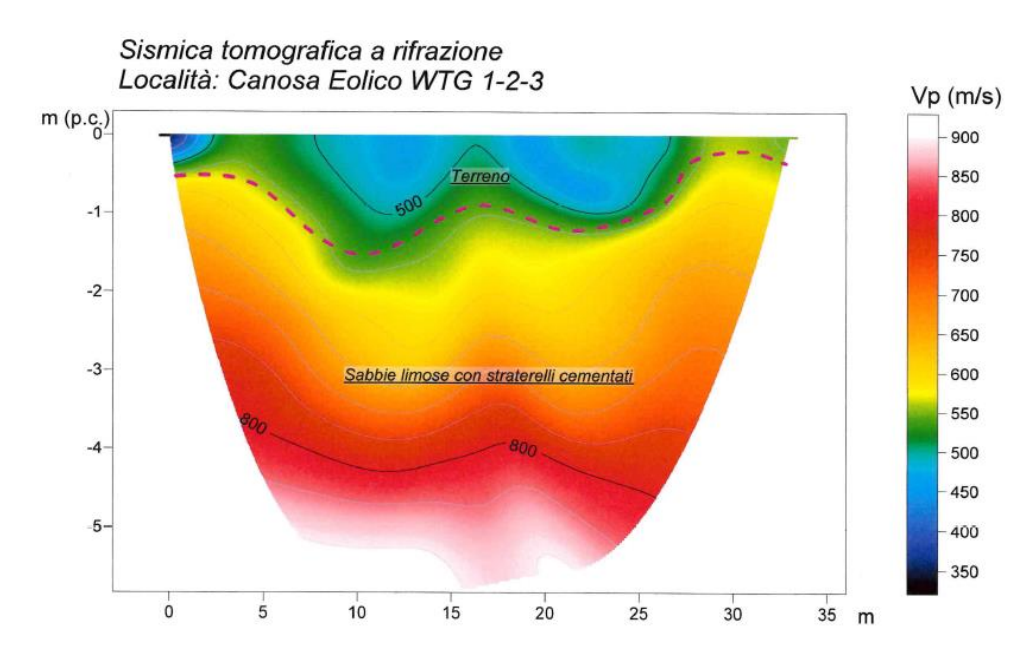
L'interpretazione dei dati di campagna è stata eseguita tramite l'applicazione congiunta e

computerizzata del metodo di Palmer e delle intercette.

43

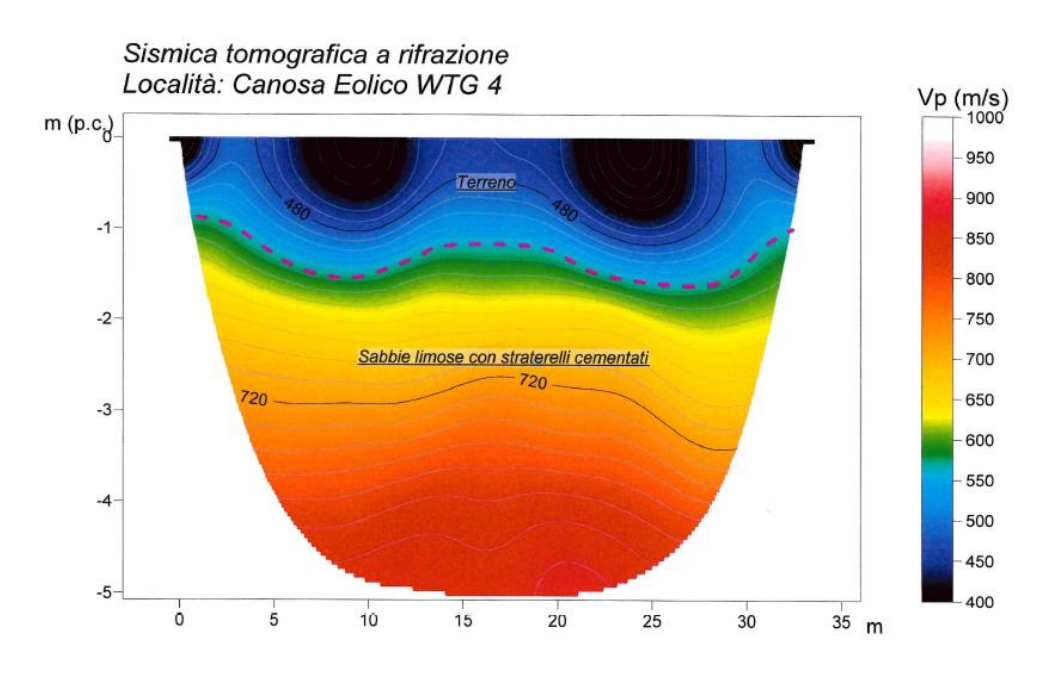
Profilo sismico WTG 1-2-3

Il profilo sismico a rifrazione, di lunghezza pari a 33 metri, ha evidenziato un modello a due sismostrati. In affioramento si rinviene del terreno vegetale che presenta una velocità Vp di 500 m/sec ed uno spessore di 1.0 metri, segue uno strato caratterizzato da una velocità Vp di 800 m/sec, da ricondurre a sabbie limose con straterelli cementati.



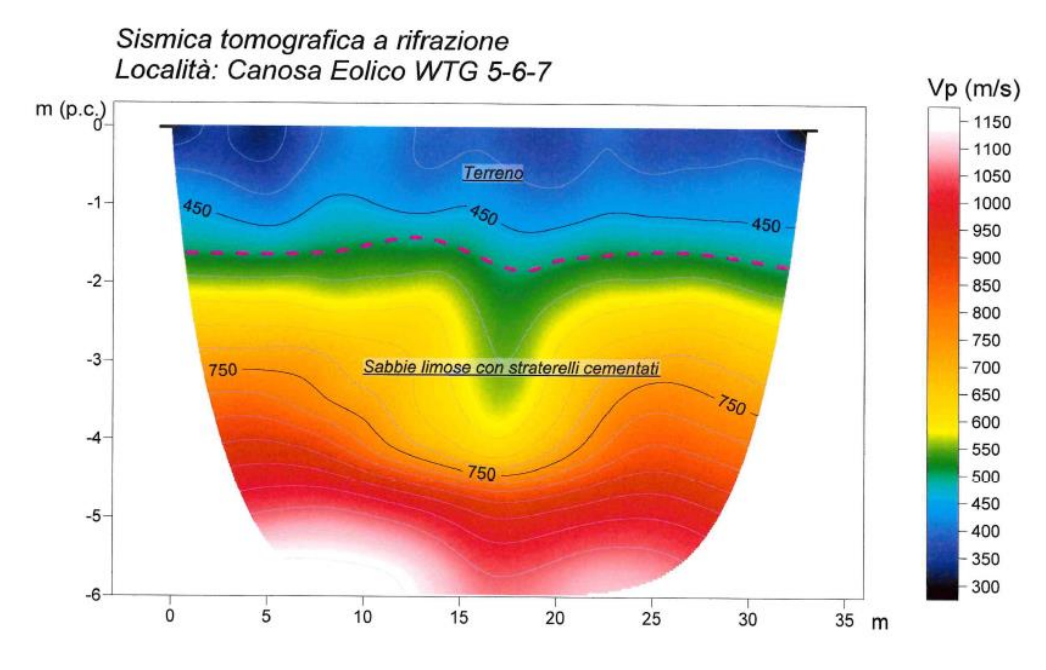
Profilo sismico WTG 4

Il profilo sismico a rifrazione, di lunghezza pari a 33 metri, ha evidenziato un modello a due sismostrati. In affioramento si rinviene del terreno vegetale che presenta una velocità Vp di 480 m/sec ed uno spessore di 1.3 metri, segue uno strato caratterizzato da una velocità Vp di 720 m/sec, da ricondurre a sabbie limose con straterelli cementati



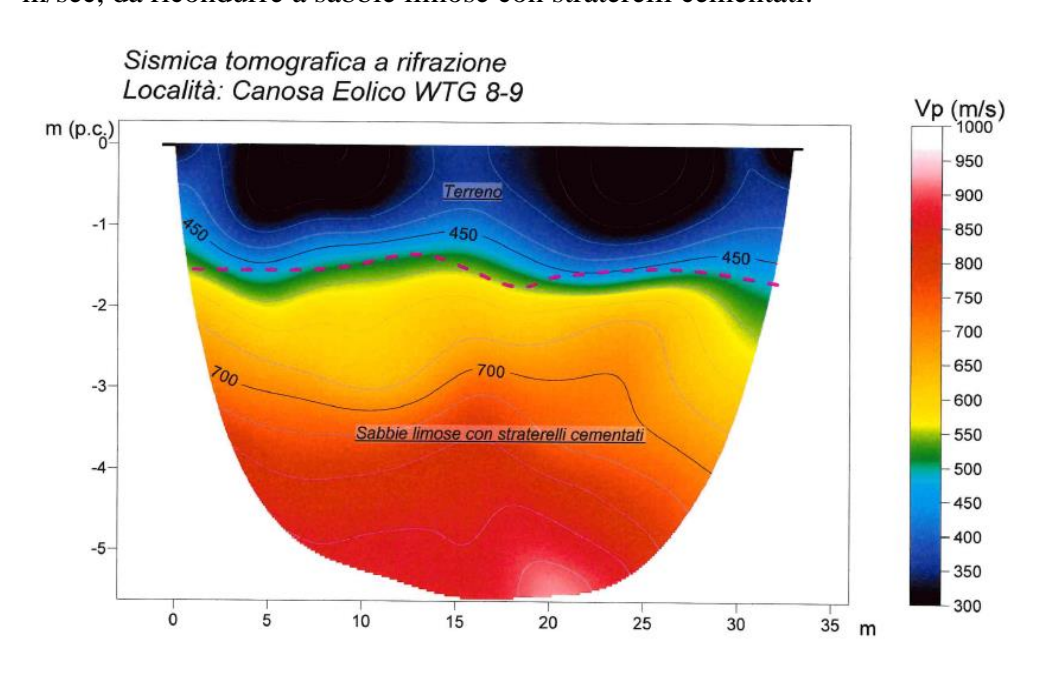
Profilo sismico WTG 5-6-7

Il profilo sismico a rifrazione, di lunghezza pari a 33 metri, ha evidenziato un modello a due sismostrati. In affioramento si rinviene del terreno vegetale che presenta una velocità Vp di 450 m/sec ed uno spessore di 1.5 metri, segue uno strato caratterizzato da una velocità Vp di 750 m/sec, da ricondurre a sabbie limose con straterelli cementati



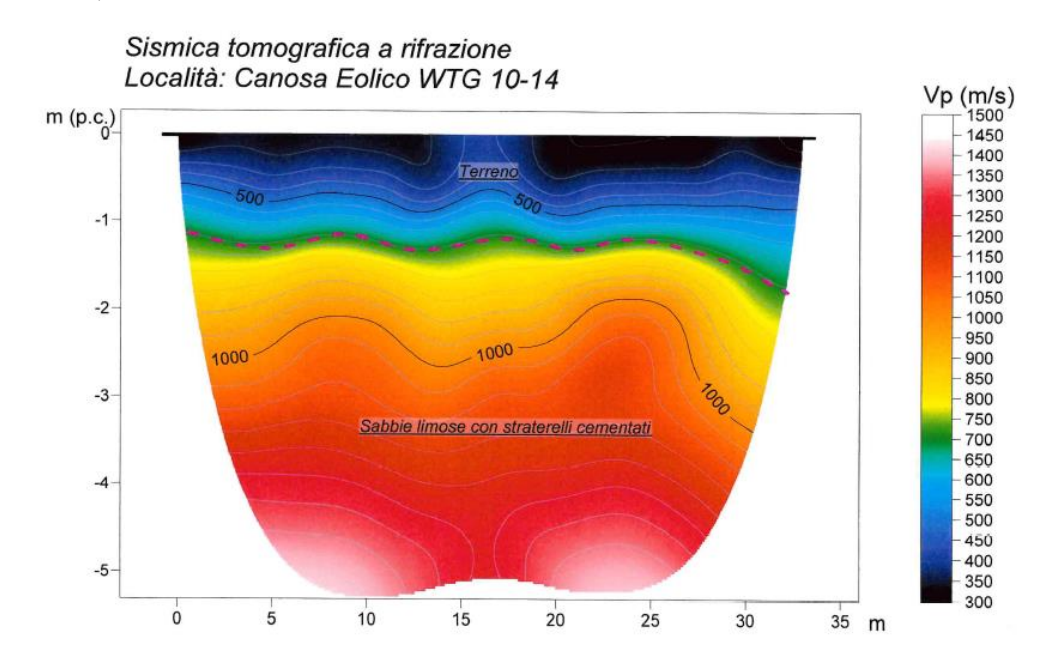
Profilo sismico WTG 8-9

Il profilo sismico a rifrazione, di lunghezza pari a 33 metri, ha evidenziato un modello a due sismostrati. In affioramento si rinviene del terreno vegetale che presenta una velocità Vp di 450 m/sec ed uno spessore di 1.7 metri, segue uno strato caratterizzato da una velocità Vp di 700 m/sec, da ricondurre a sabbie limose con straterelli cementati.



Profilo sismico WTG 10-11-12-13-14

Il profilo sismico a rifrazione, di lunghezza pari a 33 metri, ha evidenziato un modello a due sismostrati. In affioramento si rinviene del terreno vegetale che presenta una velocità Vp di 500 m/sec ed uno spessore di 1.0 metri, segue uno strato caratterizzato da una velocità Vp di 1000 m/sec, da ricondurre a sabbie limose con straterelli cementati.



Dalle indagini eseguite nel sito sono stati ricavati i seguenti parametri geotecnici:

Strato	Vp (m/sec)	Vs (m/se c)	ф (°)	C (kg/cmq)	γ (gr/cmc)	E Din (MPa)	η
1	218	-	-	-	-	-	-
2	700-1000	359	28	0.0	1.80	1490	0.45

Progetto per realizzazione di un parco eolico nei Comuni di Canosa di Puglia e Andria in località Posta Piana e Rivera

Sismica con metodologia Masw

Per individuare la categoria sismica del suolo di fondazione è stata eseguita un'indagine di

sismica con metodologia MASW.

Il metodo MASW (Multichannel Analysis of Surface Waves) è una tecnica di indagine non

invasiva (non è necessario eseguire perforazioni o scavi), che individua il profilo di velocità delle

onde di taglio verticali Vs, basandosi sulla misura delle onde superficiali fatta in corrispondenza

di diversi sensori (accelerometri o geofoni) posti sulla superficie del suolo.

Le onde superficiali di Rayleigh, durante la loro propagazione vengono registrate lungo lo

stendimento di geofoni (DA 4.5 Hz) e vengono successivamente analizzate attraverso complesse

tecniche computazionali basate su un approccio di riconoscimento di modelli multistrato di

terreno.

La metodologia per la realizzazione di una indagine sismica MASW prevede almeno i seguenti

passi:

- Acquisizioni multicanale dei segnali sismici, generati da una sorgente energizzante artificiale

(maglio battente su piastra in alluminio), lungo uno stendimento rettilineo di sorgente-geofoni

- Estrazione dei modi dalle curve di dispersione della velocità di fase delle onde superficiali di

Rayleigh;

- Inversione delle curve di dispersione per ottenere profili verticali delle VS.

Gli algoritmi genetici rappresentano un tipo di procedura di ottimizzazione appartenente alla

classe degli algoritmi euristici (o anche global-search methods o soft computing).

Rispetto ai comuni metodi di inversione lineare basati su metodi del gradiente (matrice

Jacobiana), queste tecniche di inversione offrono un'affidabilità del risultato di gran lunga

superiore per precisione e completezza.

I comuni metodi lineari forniscono infatti soluzioni che dipendono pesantemente dal modello

iniziale di partenza che l'utente deve necessariamente fornire. Per la natura del problema

(inversione delle curve di dispersione), la grande quantità di minimi locali porta infatti ad attrarre

il modello iniziale verso un minimo locale che può essere significativamente diverso da quello

reale (o globale). In altre parole, i metodi lineari richiedono che il modello di partenza sia già di

per sé vicinissimo alla soluzione reale. In caso contrario il rischio è quello di fornire soluzioni

erronee. Gli algoritmi genetici (come altri analoghi) offrono invece un'esplorazione molto più

ampia delle possibili soluzioni.

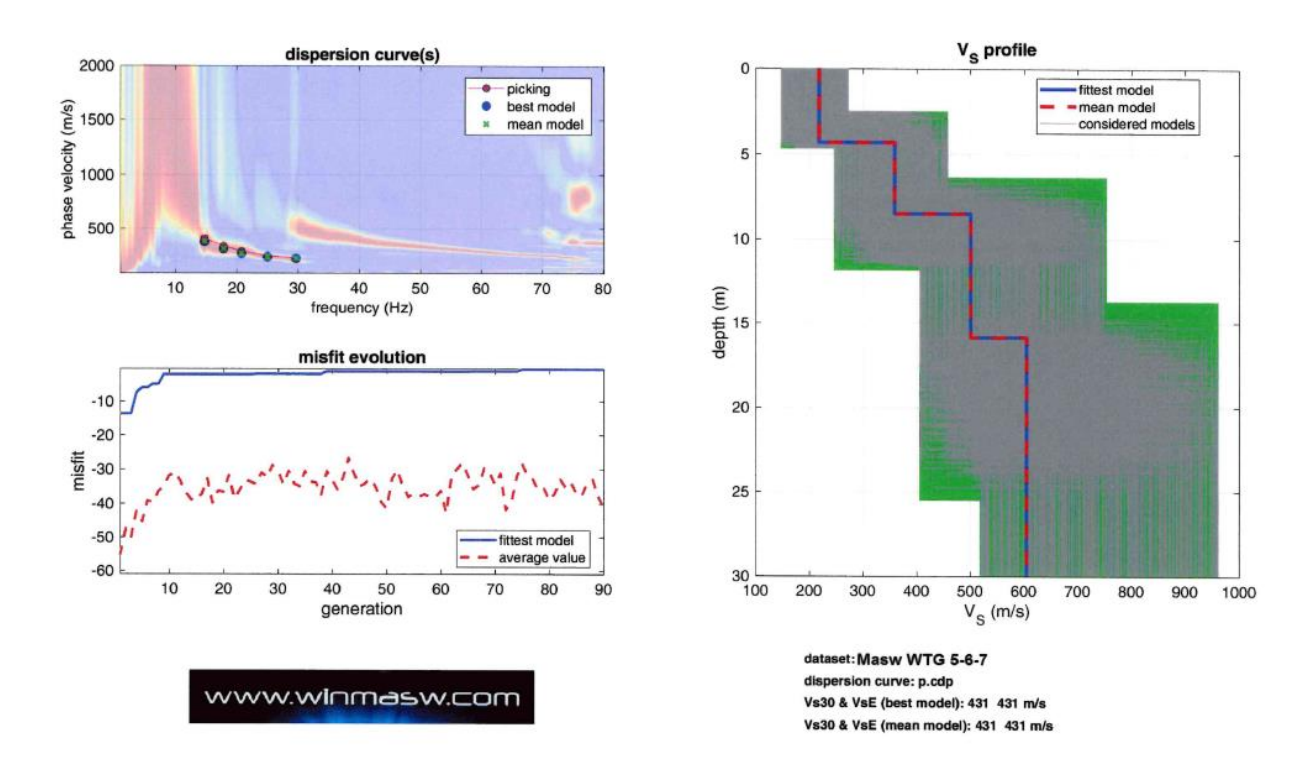
47

Tel. 349 4228478 - E-mail: fusco_antonio_mattia@yahoo.it

Il calcolo della Vs,eq è stato eseguito secondo la formula (da NTC18):

$$V_{S_{eq}} = \frac{H}{\sum_{i=1}^{i} \frac{hi}{VS_{i}i}}$$

Con: hi spessore dell'i-esimo strato; VS, i velocità delle onde di taglio nell'i-esimo strato; N numero di strati; H profondità del substrato, definito come quella formazione costituita da roccia o terreno molto rigido, caratterizzata da VS non inferiore a 800 m/s.



L'indagine effettuata restituito il seguente valore di Vs,_{eq} (431 m/s) che fa rientrare il suolo di fondazione nella categoria sismica B.

La raccolta dei dati dei principali parametri geotecnici, si è basata sull'analisi proveniente da indagine bibliografica e dal rilevamento geologico effettuato dallo scrivente nei terreni interessati dalla realizzazione delle 14 torri eoliche oltre alle opere di connessione e dai cavidotti. Come si può notare dalla carta geologica allegata, gli aereogeneratori n. 1-2-3-4-5-6-7-9 saranno collocati sui terreni appartenenti ai depositi marini terrazzai (sabbie limose calcarifere e calcareniti). L'aerogeneratore 8 sarà ubicato su roccia calcarenitica ben cementata (Calcareniti di Gravina). Gli aerogeneratori n. 10-11-12-13-14 si troveranno sui depositi alluvionali recenti del fiume Ofanto caratterizzate da sedimenti sabbioso-argillosi subordinatamente ciottolosi.

Dal rilevamento geologico di dettaglio, dai dati bibliografici e dall'analisi di indagini geognostiche eseguite in aree limitrofe (aventi le stesse caratteristiche geologico-stratigrafiche), sono stati riconosciuti affioramenti di materiale di origine alluvionale e residuale nella zona est (WTG 10-11-12-13-14) e di materiale sabbioso terrazzato verso ovest (WTG 1-2-3-4-5-6-7-8-9). Tale contesto geomorfologico favorisce l'accumularsi di tali terreni ricoprendo quasi per intero il sito.

I parametri geotecnici delle *Sabbie limose* dedotte da indagini pregresse ha restituito i risultati i seguenti:

V _P (m/s)	700-1000		
Angolo di attrito (°)	28		
Modulo edometrico (Mpa)	1490		
Classificazione AGI	Addensato		
Coesione (kg/cmq)	0.0		
Peso di volume (gr/cmc)	1.80		
Modulo di Poisson	0.45		

Progetto per realizzazione di un parco eolico nei Comuni di Canosa di Puglia e Andria in località Posta Piana e Rivera

CONCLUSIONI

Lo studio di seguito illustrato è stato svolto su incarico da me ricevuto dalla Società Q-Energy

Renewables 2 S.r.l. e costituisce la relazione geologica, geotecnica, sismica e idrogeologica a

corredo dei lavori per la realizzazione di un parco eolico nei Comuni di Canosa di Puglia e

Andria in località Posta Piana e Rivera.

L'impianto sarà collegato mediante un cavidotto in media tensione interrato.

Il lavoro compiuto consente di affermare che allo stato attuale non si evidenziano fattori

riconducibili a fenomeni di natura geostatica che implichino modifiche degli equilibri esistenti in

quanto non sono stati rilevati elementi che possano indicare movimenti di tipo tettonico-

gravitativo. Dal punto di vista morfologico, il sito sorge su una fascia pianeggiante caratterizzata

da depositi superficiale sufficientemente stabili e addensati.

Inoltre, il contesto morfodinamico dell'area rende l'idrografia superficiale poco sviluppata o del

tutto assente. Per ciò che concerne l'aspetto idrogeologico, non si evidenziano problematiche

legate a fenomeni di affioramento di falda.

Per quanto riguarda l'aspetto sismico, si ricorda che l'area è inserita nella zona 2 e 3 della nuova

classificazione sismica (Ordinanza del P.C.M. n. 3274 del 20 Marzo 2003).

Come recepito dalla normativa il modello geologico di riferimento è stato validato e supportato

da indagini specifiche sia di tipo indiretto che diretto.

Le indagini sono consistite in:

n. 5 indagine sismica a rifrazione;

n. 1 indagine sismica Masw per l'individuazione della categoria sismica del suolo di fondazione.

Lo studio geologico si è svolto in ottemperanza al D.M. del 11/03/1988, all'ordinanza del

presidente del consiglio dei Ministri n°3274 del 20/03/2003 e alle disposizioni dettate dal nuovo

Norme Tecniche sulle Costruzioni D.M. del 17/01/2018 al fine di ricostruire un modello

geologico e geotecnico.

Le indagini eseguite hanno permesso di redigere un modello geologico e geotecnico e sismico

medio per le aree interessate dall'installazione degli aerogeneratori e per le aree interessate dal

<u>cavidotto interrato.</u>

È stato rilevato come, il piano campagna su cui insisteranno le strutture di sostegno dell'impianto

fotovoltaico, è rappresentato per la totalità del sito da terreno vegetale per uno spessore di 1.0

50

metro, segue un substrato da ricondurre a sabbie-limose nell'area degli aerogeneratori 1-2-3-4-5-6-7-8-9 e a depositi alluvionali caratterizzati dalla presenza di sabbie argillose a tratti ciottolose nei pressi degli aerogeneratori 10-11-12-13-14 (alluvioni recenti del fiume Ofanto).

Successione litostratigrafica tipo:

- da 0.0 m a 1.00 m Terreno vegetale

- da 1.00 m a 5.00 m Sabbie-limose

I parametri geotecnici delle Sabbie con livelli litoidi dedotti dalla prova penetrometrica sono risultati i seguenti:

V _p (m/s)	700-1000		
Angolo di attrito (°)	28		
Modulo edometrico (Mpa)	1490		
Classificazione AGI	Addensato		
Coesione (kg/cmq)	0.0		
Peso di volume (gr/cmc)	1.80		
Modulo di Poisson	0.45		

Le indagini non hanno rilevato alcuna falda superficiale.

Dal punto di vista della risposta sismica locale del sito la Vs_{30} è stata calcolata con la seguente espressione:

$$V_{S_{eq}} = \frac{H}{\sum_{i=1}^{i} \frac{hi}{V_{S,i}}}$$

Nel caso in esame la Vs,eq calcolata è pari a <u>431 m/sec</u> che fa rientrare il suolo di fondazione nella *categoria sismica B*.

<u>In considerazione dell'assetto morfostrutturale del sito di indagine, delle caratteristiche fisico-</u> meccaniche dei terreni e delle condizioni idrauliche, la realizzazione dell'intervento è possibile.

Maruggio, Novembre 2022

Il Geologo

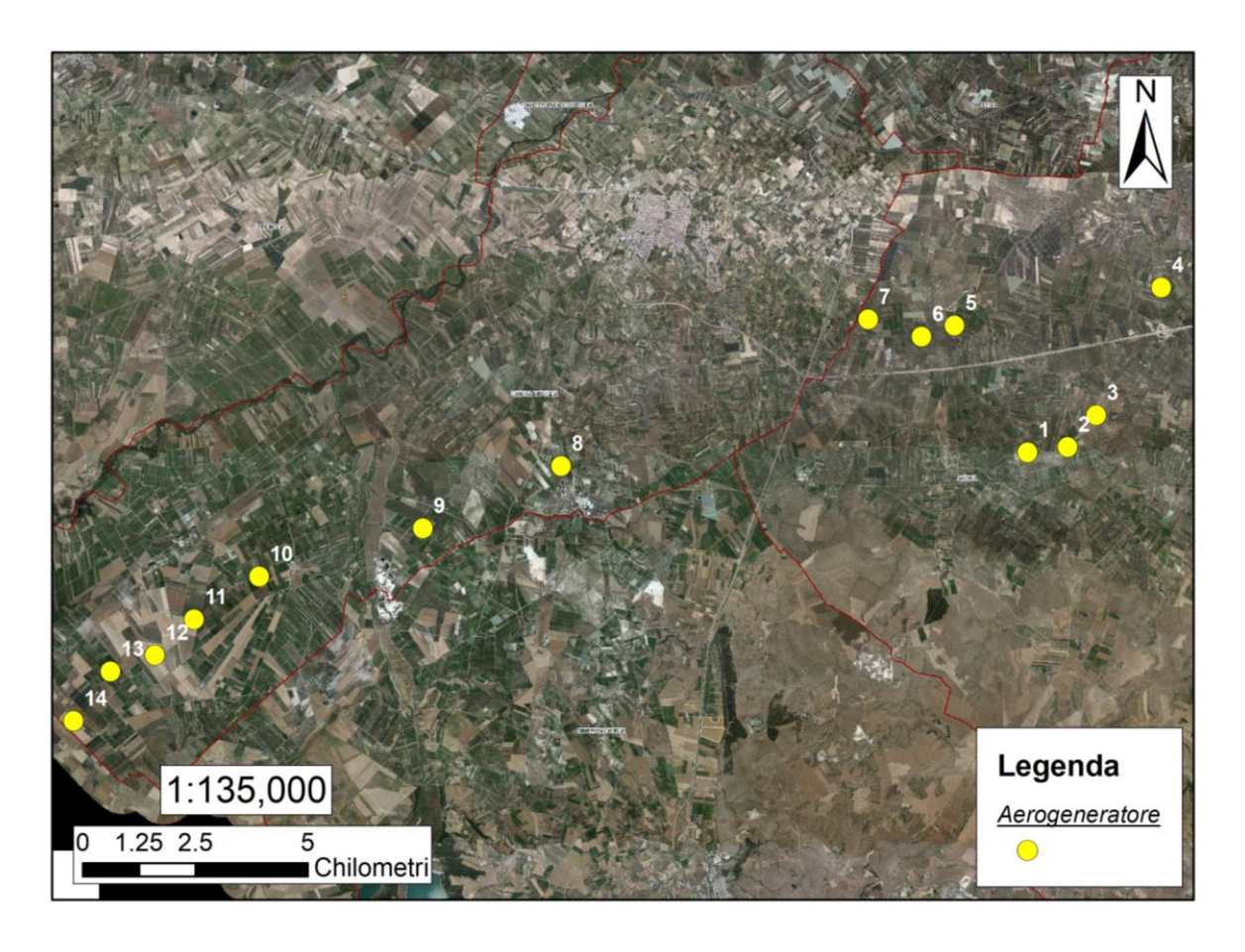
Dott. Antonio Mattia Fusco

ALLEGATI GRAFICI

• Ortofoto 1:135.000

• Carta geologica 1:135.000

ORTOFOTO 1:135.000



CARTA GEOLOGICA 1:135.000

